



POLYTECH[®]
ORLÉANS

École d'Ingénieurs de l'Université d'Orléans

UE -OSSDE : Ouvrages sous sollicitations dynamiques et environnementales

Module 1 : Durabilité de matériaux et des structures

Eléments de la mécanique de rupture Fracture mechanics

2024 - 2025



POLYTECH[®]
ORLÉANS

École d'Ingénieurs de l'Université d'Orléans

Éléments de la mécanique de rupture

- Introduction
- Défauts dans un matériau : Facteur de concentration de contrainte
- Modes de propagation de fissures
- Contraintes et déplacements autour d'une fissure
- Critères de propagation de fissures
- Endommagement
- Fracture fragile et ductile
- Fatigue
- Dimensionnement à la fatigue



POLYTECH[®]
ORLÉANS

École d'Ingénieurs de l'Université d'Orléans

Éléments de la mécanique de rupture

- Introduction
- Défauts dans un matériau : Facteur de concentration de contrainte
- Modes de propagation de fissures
- Contraintes et déplacements autour d'une fissure
- Critères de propagation de fissures
- Endommagement
- Fracture fragile et ductile
- Fatigue
- Dimensionnement à la fatigue



POLYTECH[®]
ORLÉANS

École d'Ingénieurs de l'Université d'Orléans

Éléments de la mécanique de rupture

- ***Introduction***

Objet de l'étude de la mécanique de la rupture (MLR) :

- conditions d'amorçage d'arrêt et de propagation des fissures
- évaluation de l'état de fissuration (de l'endommagement) d'une structure
- Caractérisation des matériaux et des structures vis-à-vis de la résistance à la rupture

Pourquoi ? Que y a-t-il de différent des méthodes connues de dimensionnement ?

- Citer quelque critères de dimensionnement de structures
exemple : $\sigma \leq \sigma_{\text{limit}}$, critère de Von Mises, critère de Mohr-Coulomb, ...
- rupture localisée versus rupture généralisée (MLR versus MMC)

Exemples historiques



POLYTECH[®]
ORLÉANS

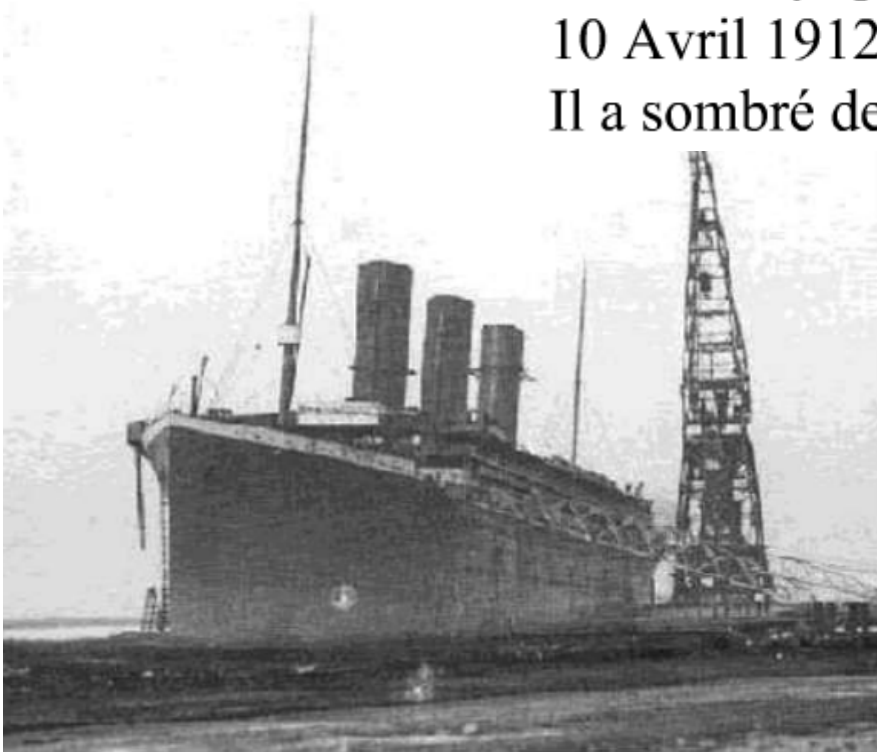
École d'Ingénieurs de l'Université d'Orléans

Éléments de la mécanique de rupture

Exemples historiques : Rupture du Titanic

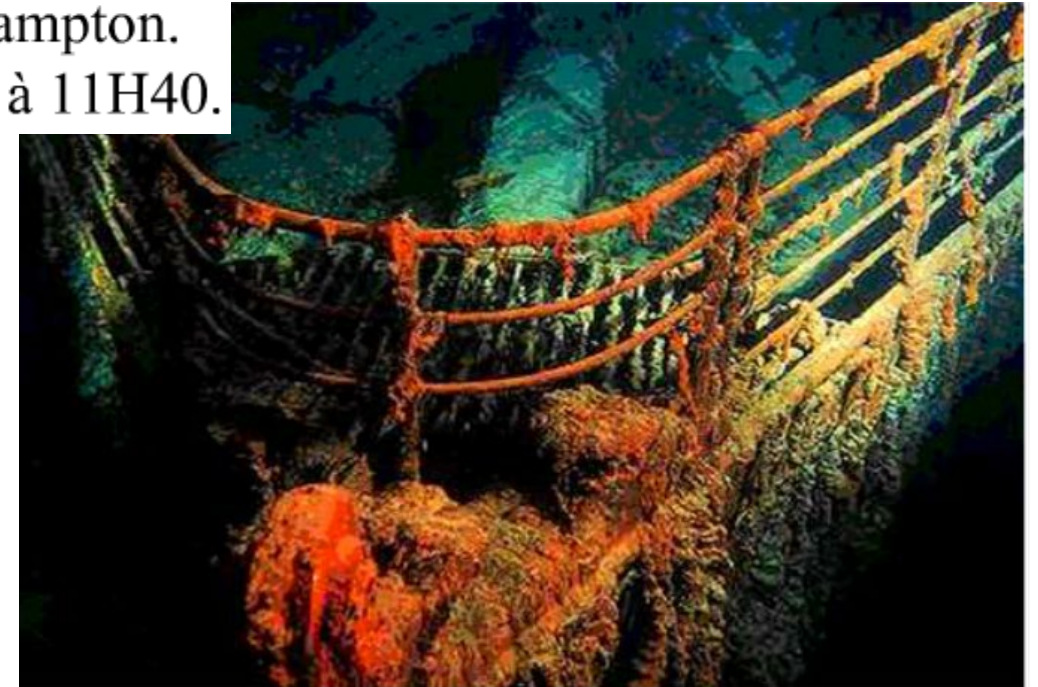
• *Introduction*

Le Titanic a commencé son premier et dernier voyage pour New York le 10 Avril 1912 à partir de Southampton. Il a sombré deux jours plus tard à 11H40.



10 avril 1912

.....



100 ans après

Constructions Durables (COD)
Prof. D. Hoxha



Éléments de la mécanique de rupture

- *Introduction*

Exemples historiques : Rupture du Titanic

Propriétés mécaniques

	<i>Titanic</i>	<i>SAE 1020</i>
Limite d'élasticité	193.1 MPa	206.9 MPa
Résistance ultime	417.1 MPa	379.2 MPa
allongement	29%	26%
Striction	57.1%	50%



POLYTECH[®]
ORLÉANS

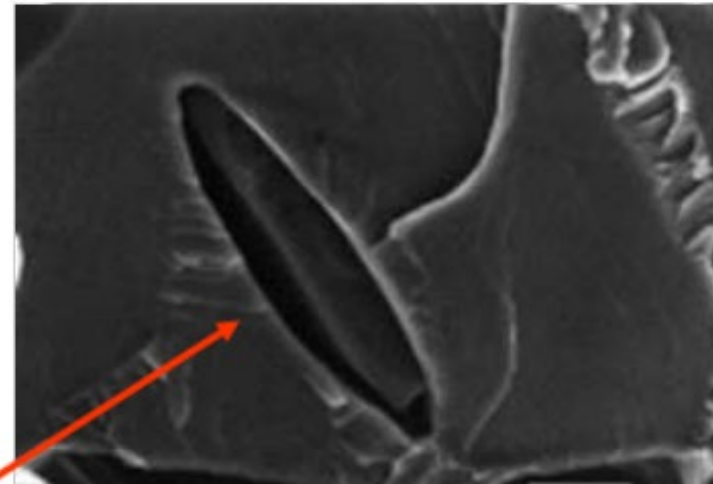
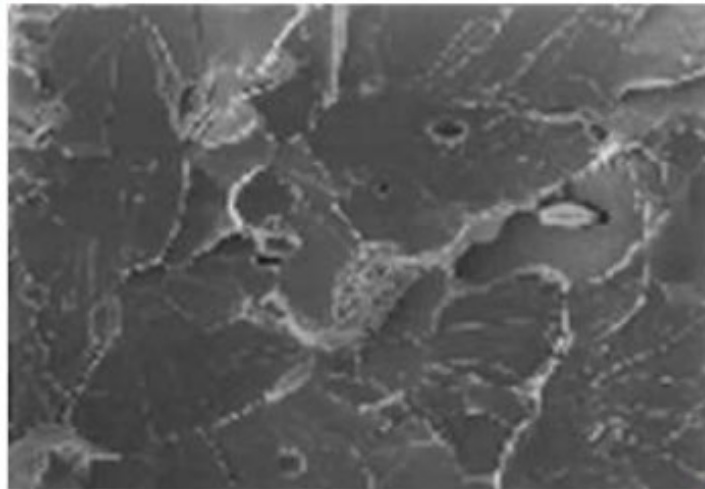
École d'Ingénieurs de l'Université d'Orléans

Éléments de la mécanique de rupture

- *Introduction*

Exemples historiques : Rupture du Titanic

*Facies de rupture
des aciers de
Titanic*



**La rupture est facilement amorcée à partir d'inclusions
de **sulfures elliptiques**.**



POLYTECH[®]
ORLÉANS

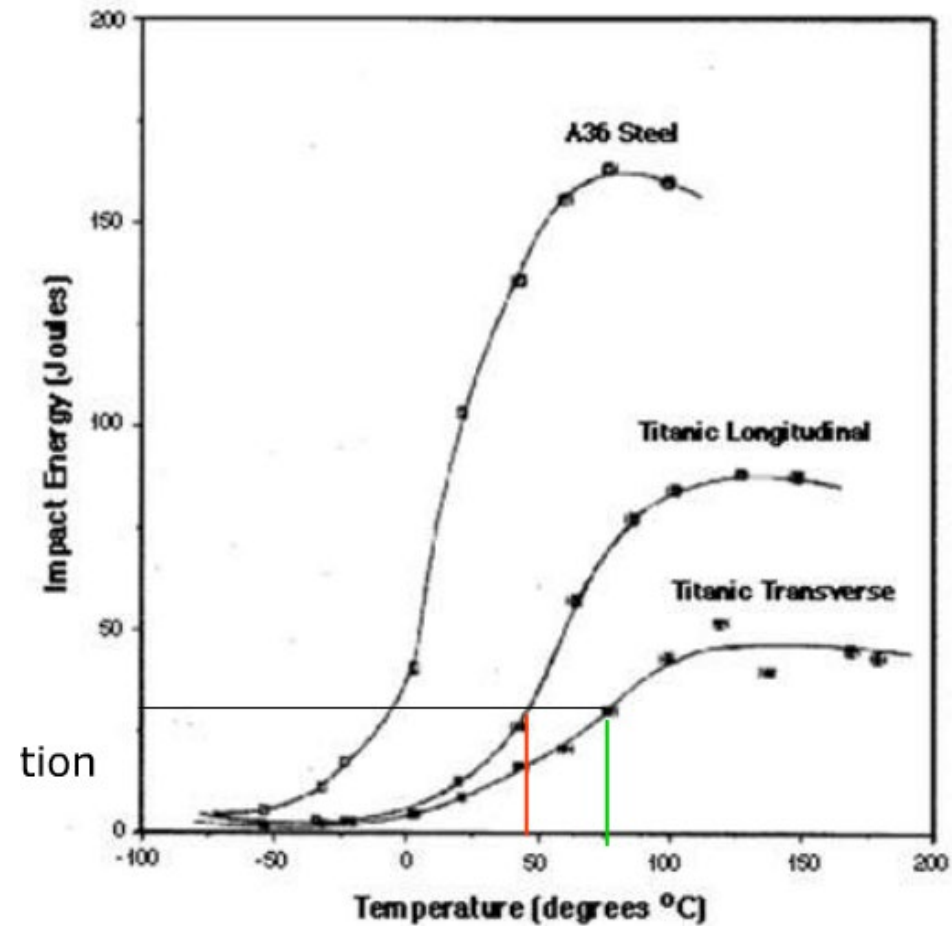
École d'Ingénieurs de l'Université d'Orléans

Éléments de la mécanique de rupture

- *Introduction*

Exemples historiques : Rupture du Titanic

Résultats de test CHARPY





POLYTECH[®]
ORLÉANS

École d'Ingénieurs de l'Université d'Orléans

Éléments de la mécanique de rupture

- *Introduction*

Exemples historiques : Incident du Comet (1954)



6. CLOSE-UP OF SKIN AT BOTTOM FRONT CORNER OF ESCAPE HATCH
FIG. 15. FAILURE OF FRONT FUSELAGE AT 184 (3/4)³
(327 TOTAL FLIGHTS)—G-ALYU.



POLYTECH[®]
ORLÉANS

École d'Ingénieurs de l'Université d'Orléans

Éléments de la mécanique de rupture

- *Introduction*

LE NAUFRAGE DE L'ERIKA (11 DECEMBRE 1999)

le navire se casse en deux le 11 Décembre 1999 à 8h15 (heure locale) dans les eaux internationales, à une trentaine de milles au sud de la pointe de Penmarc'h (Pointe sud du Finistère).

La quantité de mazout déversée au moment du naufrage est alors estimée entre 7 000 et 10 000 tonnes.

La partie avant du navire sombre dans la nuit du 12 au 13 décembre à peu de distance du lieu de la cassure.





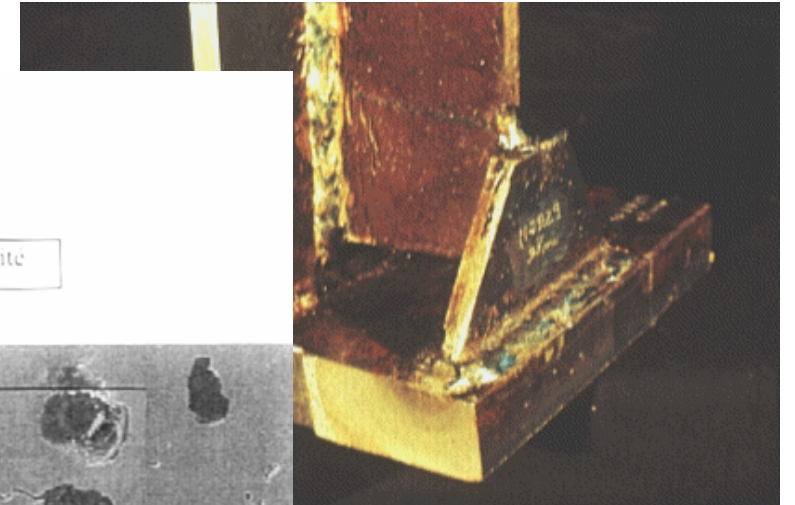
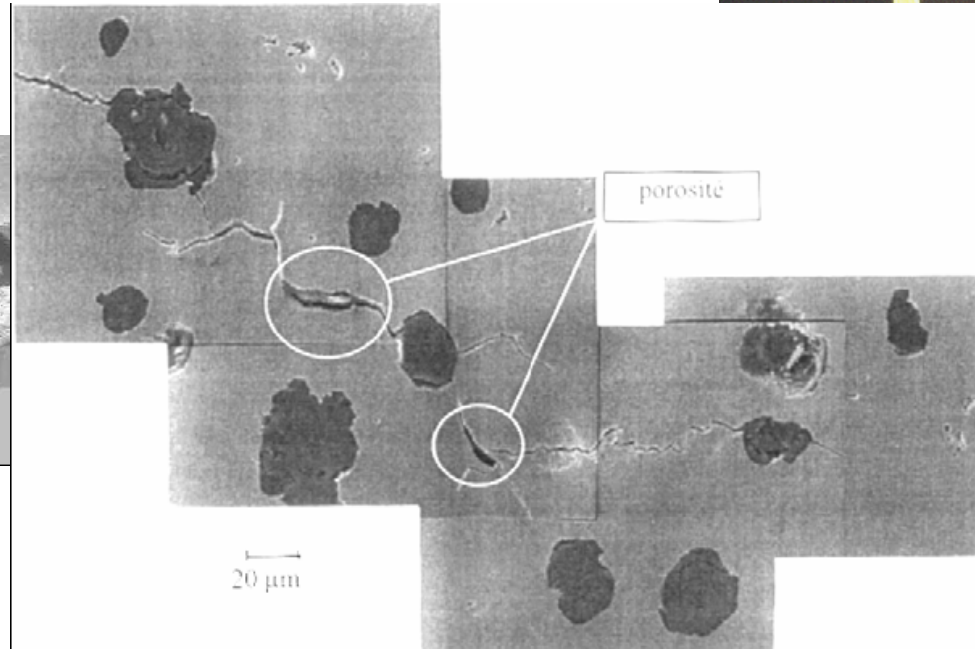
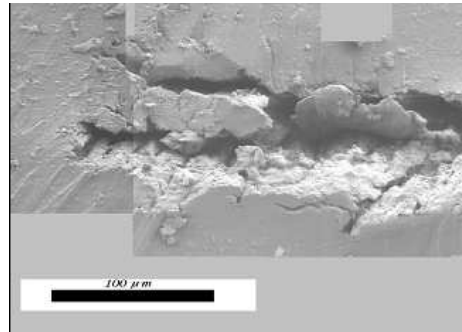
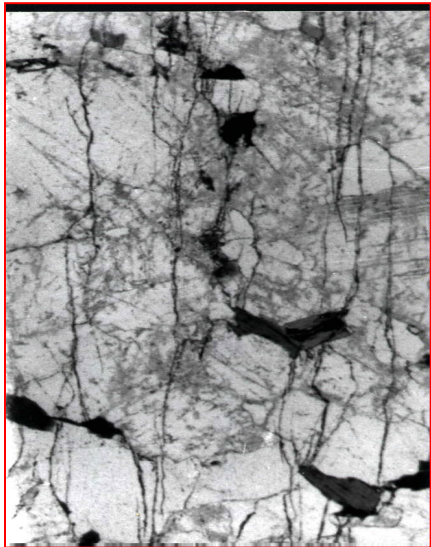
POLYTECH[®]
ORLÉANS

École d'Ingénieurs de l'Université d'Orléans

Éléments de la mécanique de rupture

- *Défauts de structure des matériaux*
- *Facteur de concentration de contrainte*

A toute échelle les structures contiennent des « défauts »/hétérogénéités



Ces hétérogénéités sont lieux de concentration des contraintes



POLYTECH[®]
ORLÉANS

École d'Ingénieurs de l'Université d'Orléans

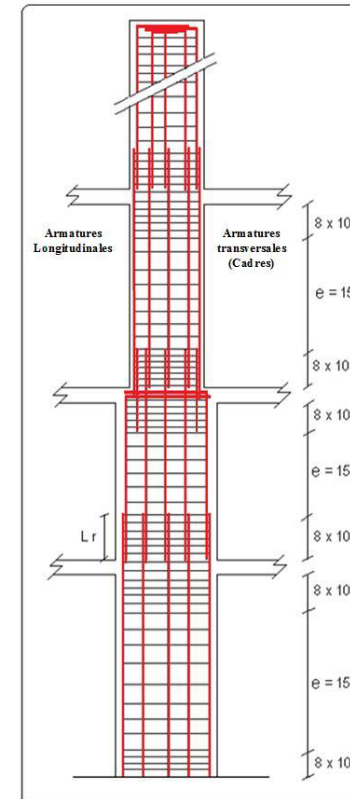
Éléments de la mécanique de rupture

- *Défauts de structure des matériaux*
- *Facteur de concentration de contrainte*

A toute échelle les structures contiennent des « défauts »/hétérogénéités



Ouvertures (fenêtres) sur la façade



Changement de section

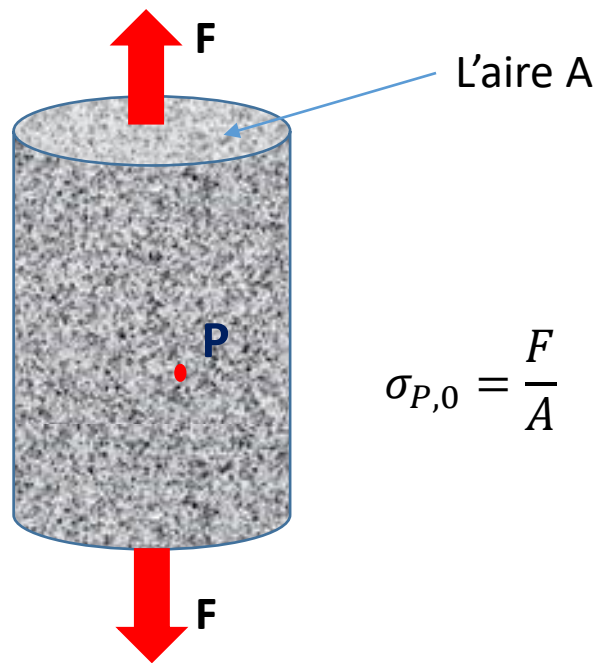
Ces hétérogénéités sont lieux de concentration des contraintes



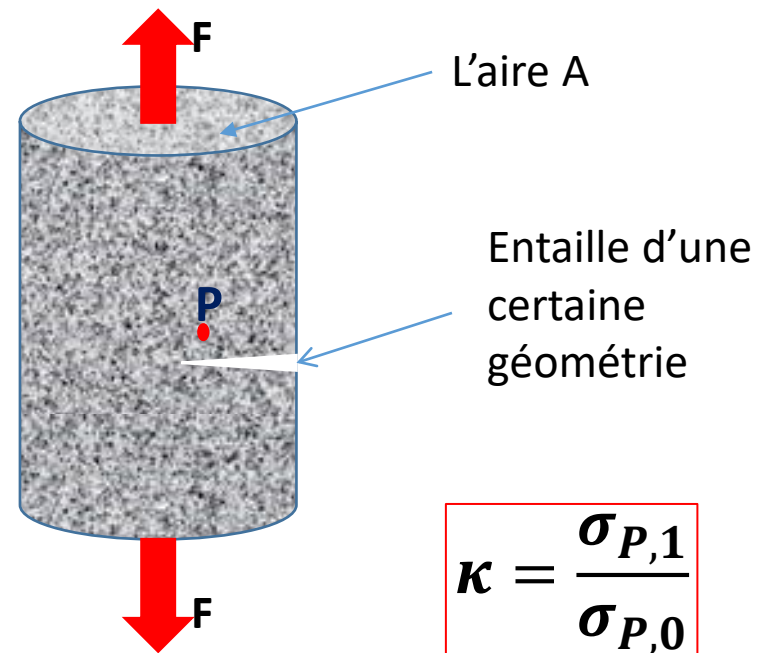
Éléments de la mécanique de rupture

- *Défauts de structure des matériaux*
Facteur de concentration de contrainte

Facteur de concentration de contrainte à un point d'une structure est le rapport de la contrainte à ce point d'une structure concernée avec un défaut avec la contrainte à ce même point de la contrainte de la structure sans défaut



$$\sigma_{P,0} = \frac{F}{A}$$



$$\kappa = \frac{\sigma_{P,1}}{\sigma_{P,0}}$$

$$\sigma_{P,1} = f(F, A, \text{défaut}, \dots)$$

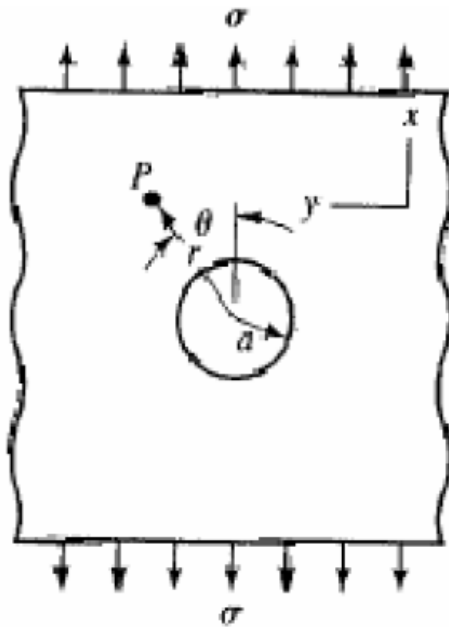


Éléments de la mécanique de rupture

- *Défauts de structure des matériaux*

Facteur de concentration de contrainte

Défaut circulaire A-Contrainte plane



$$\sigma_{rr} = \frac{\sigma}{2} \left(1 - \left(\frac{a}{r} \right)^2 \right) + \frac{\sigma}{2} \left(1 - \left(\frac{a}{r} \right)^2 \right) \left(1 - 3 \left(\frac{a}{r} \right)^2 \right) \cos 2\theta$$

$$\sigma_{\theta\theta} = \frac{\sigma}{2} \left(1 + \left(\frac{a}{r} \right)^2 \right) - \frac{\sigma}{2} \left(1 + \left(\frac{a}{r} \right)^2 \right) \left(1 - 3 \left(\frac{a}{r} \right)^4 \right) \cos 2\theta$$

$$\sigma_{r\theta} = -\frac{\sigma}{2} \left(1 - \left(\frac{a}{r} \right)^2 \right) \left(1 + 3 \left(\frac{a}{r} \right)^2 \right) \sin 2\theta$$

$$\sigma_{\theta\theta} = \sigma(1 + 2 \cos 2\theta) = \kappa \cdot \sigma$$

Pour une trou circulaire sur un mur $r=a$

Facteur de concentration de contrainte



$$K_t = \frac{\sigma_{\max}}{\sigma_n} = \frac{3\kappa - 1}{\kappa + 0.3}$$

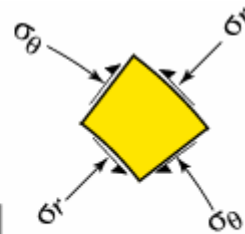
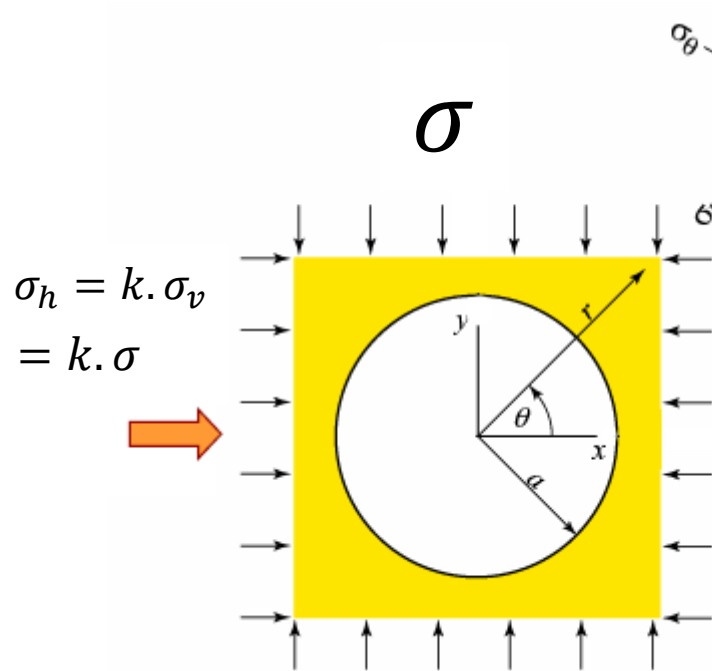


Éléments de la mécanique de rupture

Défaut circulaire A-Déformation plane

- *Défauts de structure des matériaux*
Facteur de concentration de contrainte

(Solution de Kirsh)



$$\begin{aligned} \sigma_{rr} &= \frac{\sigma}{2} \left[(1+k) \left(1 - \frac{a^2}{r^2} \right) - (1-k) \left(1 - 4 \frac{a^2}{r^2} + 3 \frac{a^4}{r^4} \right) \cos 2\theta \right] \\ \sigma_{\theta\theta} &= \frac{\sigma}{2} \left[(1+k) \left(1 + \frac{a^2}{r^2} \right) + (1-k) \left(1 + 3 \frac{a^4}{r^4} \right) \cos 2\theta \right] \\ \sigma_{r\theta} &= \frac{\sigma}{2} \left[(1-k) \left(1 + 2 \frac{a^2}{r^2} - 3 \frac{a^4}{r^4} \right) \sin 2\theta \right] \end{aligned}$$

Pour une trou circulaire sur un mur $r=a$

$$\sigma_{\theta\theta} = \frac{\sigma}{2} [2(1+k) + 4(1-k) \cos 2\theta] = \sigma [(1+k) + 2(1-k) \cos 2\theta]$$

Chargement uniaxial :

$$\sigma_{\theta\theta} = \sigma (1 + 2 \cos 2\theta) = \kappa \cdot \sigma$$



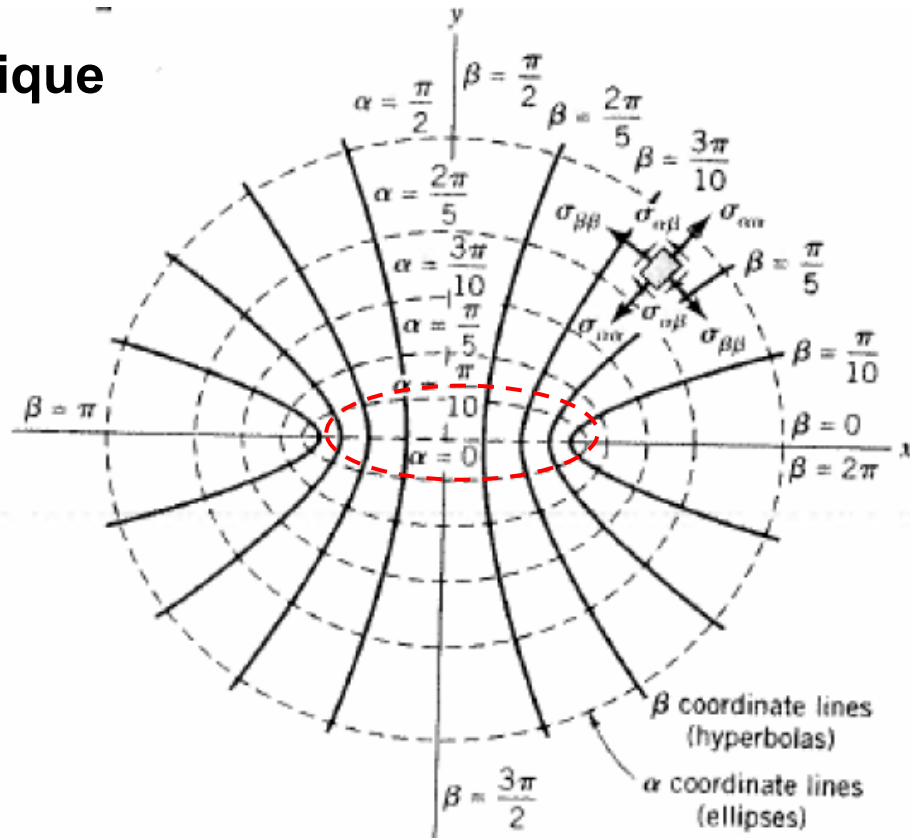


Éléments de la mécanique de rupture

- *Défauts de structure des matériaux*

Facteur de concentration de contrainte

Trou elliptique



$$\sigma_{\alpha\alpha} + \sigma_{\beta\beta} = \sigma e^{2\alpha_0} \left[\frac{(1 + e^{-2\alpha_0}) \sinh 2\alpha}{\cosh 2\alpha - \cos 2\beta} - 1 \right]$$

$$\sigma_{\beta\beta} \Big|_{\alpha=\alpha_0} = \sigma e^{2\alpha_0} \left[\frac{(1 + e^{-2\alpha_0}) \sinh 2\alpha_0}{\cosh 2\alpha_0 - \cos 2\beta} - 1 \right]$$

$$\sigma_{\beta\beta}(\max) = \sigma(1 + 2 \coth \alpha_0) = \sigma \left(1 + 2 \frac{a}{b} \right)$$

$$\sigma_{\beta\beta}(\max) = \sigma(1 + 2 \coth \alpha_0) = \sigma \left(1 + 2 \frac{a}{b} \right) = \sigma \left(1 + 2 \sqrt{\frac{a}{r}} \right)$$

$$r = \frac{b^2}{a}$$



Éléments de la mécanique de rupture

- *Défauts de structure des matériaux*

Facteur de concentration de contrainte

$$K_t = \frac{\sigma_{\beta\beta(\max)}}{\sigma_n} = 1 + 2\sqrt{\frac{a}{\rho}}$$

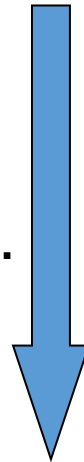
$$\sigma_{yy} = \frac{\sigma\sqrt{a}}{\sqrt{2r}} \frac{1 + \frac{\rho}{r}}{\left(1 + \frac{\rho}{2r}\right)^{\frac{3}{2}}}$$

$$\sigma_{yy} = 2\sigma\sqrt{\frac{a}{\rho}}$$

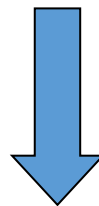
$$\sigma_{yy} = \sigma\sqrt{\frac{a}{2r}}$$

D'un défaut elliptique

À une....



... fissure de fond arrondie..... $r=0$



... à une fissure pointue --- $b \rightarrow 0$



Éléments de la mécanique de rupture

- *Défauts de structure des matériaux*

Facteur de concentration de contrainte

A retenir:

- Le facteur de concentration de contraintes K_t dépend seulement de la géométrie du défaut et du type de chargement
- Les formules théoriques ne donnent qu'une estimation : mais beaucoup de cas réels peuvent être simplifiés à des cas théoriques

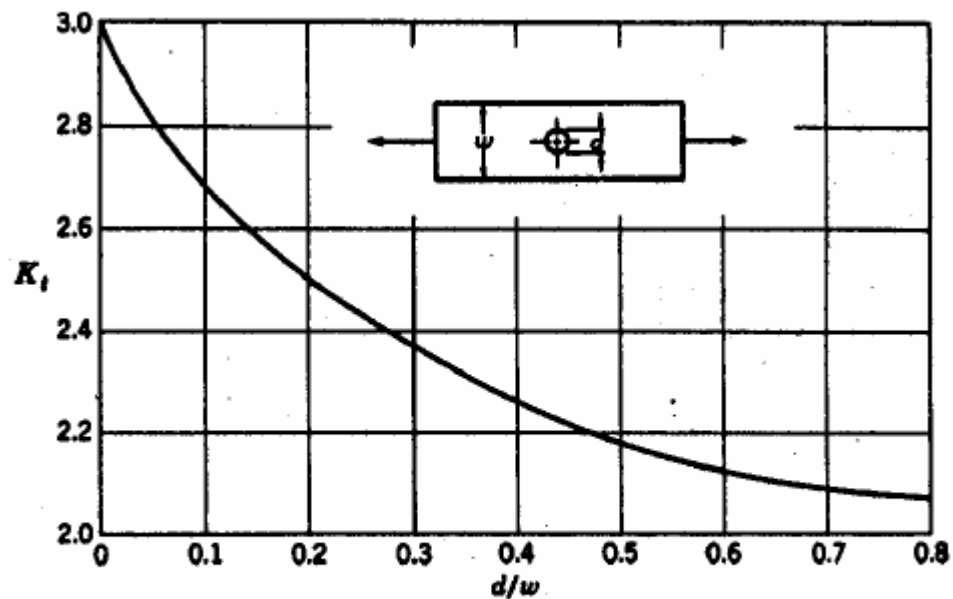


Figure C.1 — Plaque en traction ou en compression axiale simple avec un trou transversal. $\sigma_o = F/A$, où $A = (w - d)t$ est l'épaisseur.

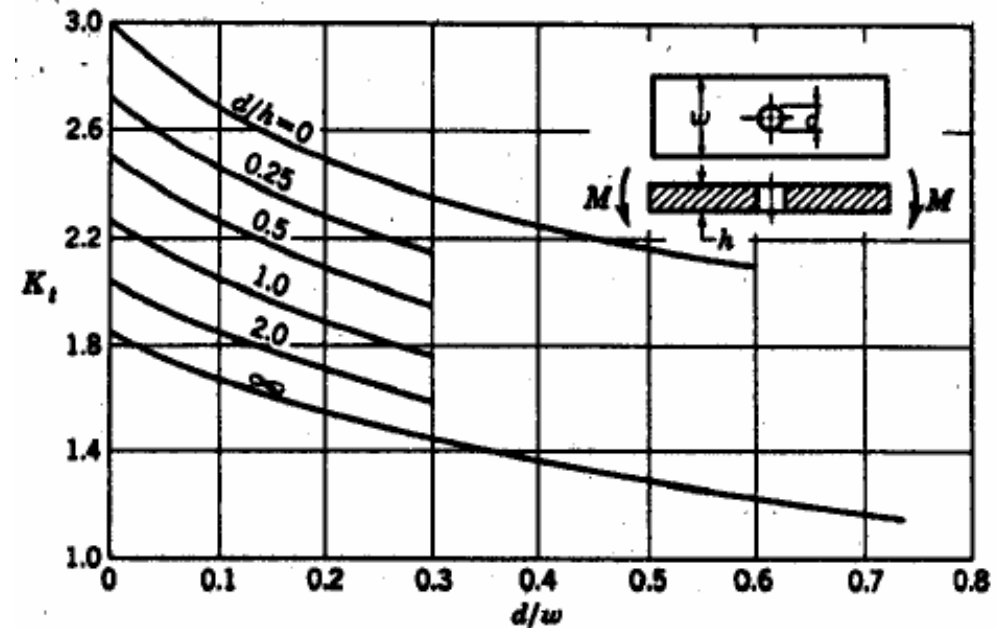


Figure C.2 — Plaque en flexion avec un trou transversal. $\sigma_o = Mc/I$, où $I = (w - d)h^3/12$.

* Toutes les courbes sont tirées de «Stress Concentration Design Factors»



Éléments de la mécanique de rupture

- *Défauts de structure des matériaux*
Facteur de concentration de contrainte

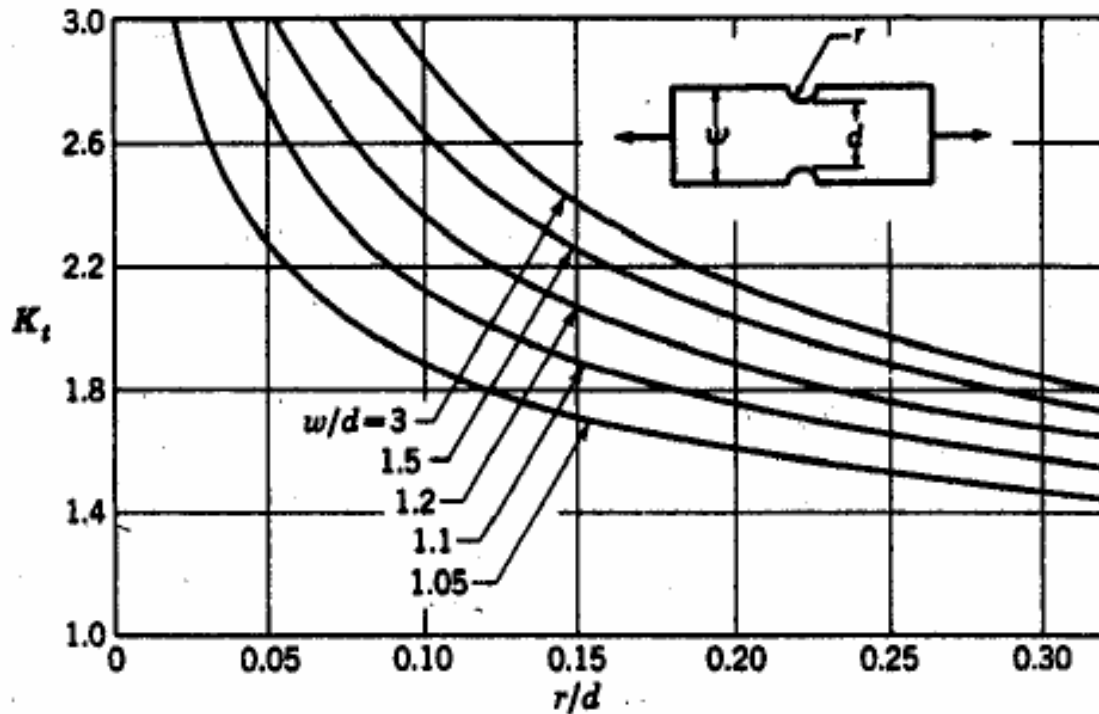


Figure C.3 — Plaque rectangulaire avec encoche soumise à une traction ou à une compression axiale simple. $\sigma_0 = F/A$, où $A = dt$ et t est l'épaisseur.

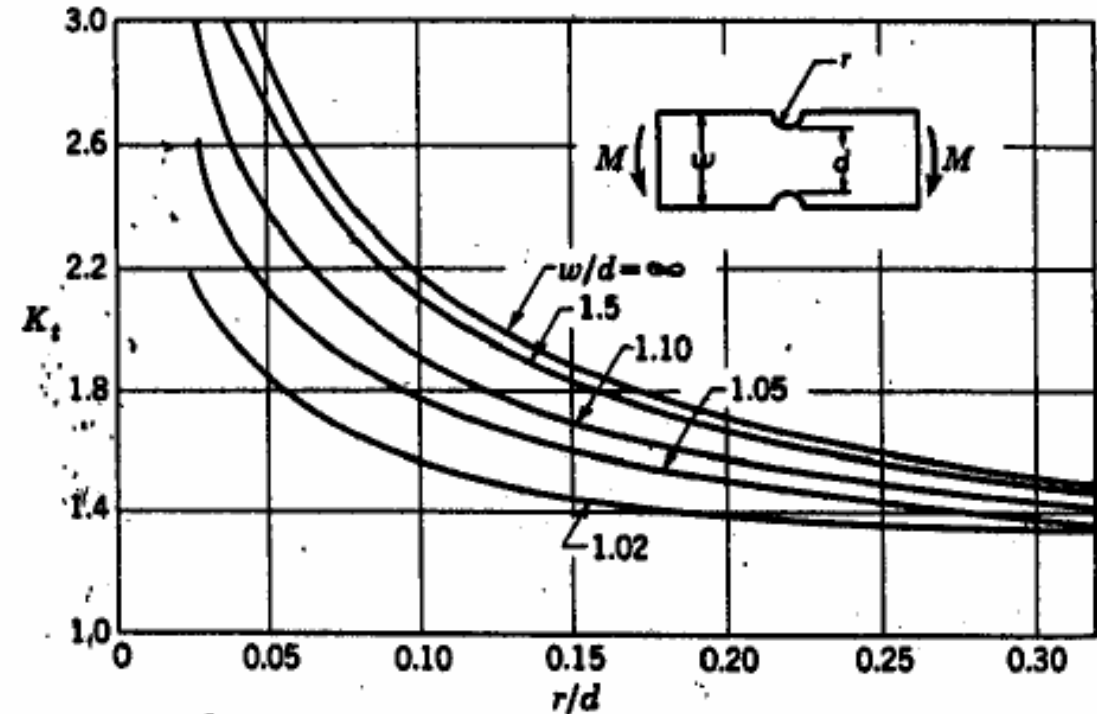


Figure C.4 — Plaque rectangulaire avec encoche soumise à une flexion. $\sigma_0 = Mc/I$, où $c = d/2$, $I = td^3/12$ et t est l'épaisseur.



Éléments de la mécanique de rupture

- *Défauts de structure des matériaux*
Facteur de concentration de contrainte

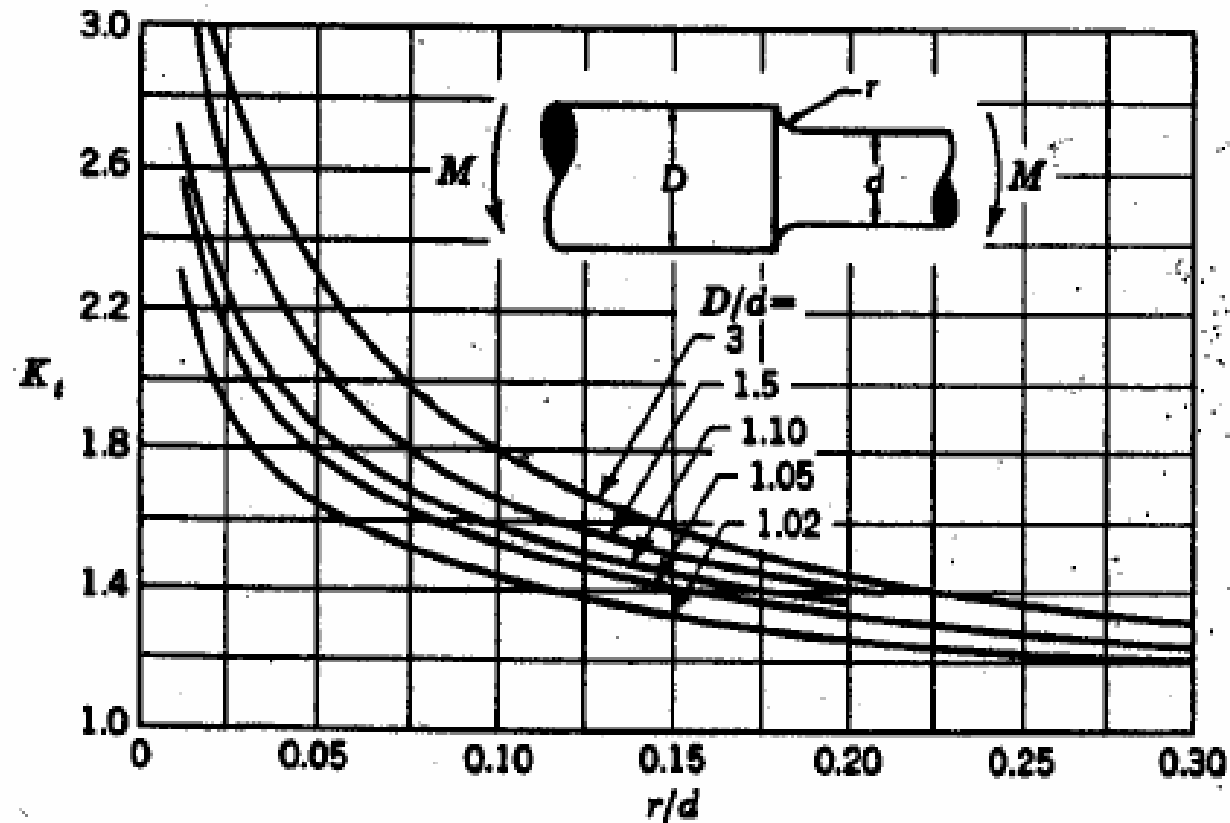


Figure C.9 — Arbre avec un épaulement soumis à une flexion. $\sigma_D = Mc/I$, où $c = d/2$ et $I = \pi d^4/64$.

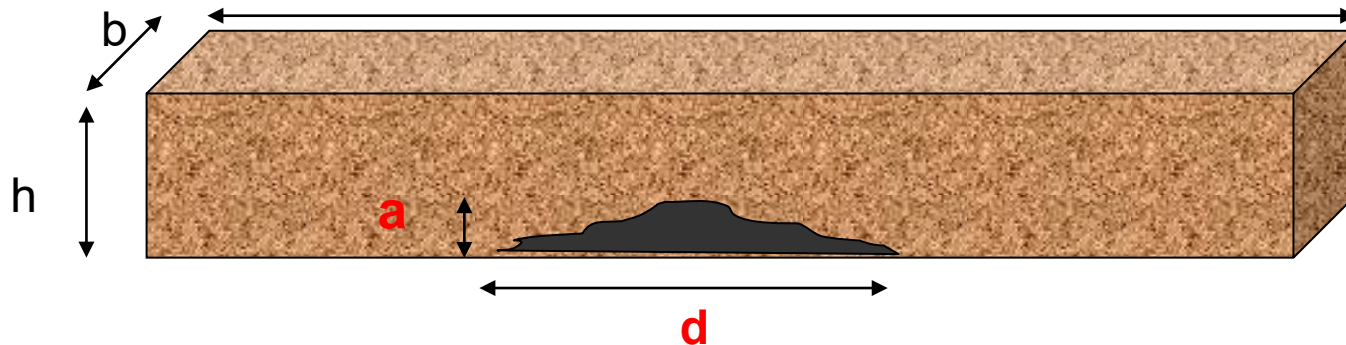


Éléments de la mécanique de rupture

- *Défauts de structure des matériaux*
Facteur de concentration de contrainte

Application 1 :

On étudie la capacité portant d'une poutre , partiellement endommagée comme sur la figure: l'extension de l'endommagement est d et la profondeur a . C'est une situation qu'on peut rencontrer en pratique dans le cas d'estimation de l'état d'une structure après un accident (feux par exemple)



- Quelle est la charge uniformément distribuée que cette poutre peut supporter dans ces conditions connaissant les valeurs limites du matériau constituant σ_{lim}^0 et ses propriétés élastiques E^0
- Recalculer la capacité portant de la poutre en supposant maintenant que le module de Young est actuellement juste une fraction du module de Young initial $E=k_1.E^0$ et que la résistance du matériau n'est qu'une autre fraction de la résistance du matériau $\sigma_{lim}=k_2*\sigma_{lim}^0$ (index « 0 » indique les propriétés initiales)



POLYTECH[®]
ORLÉANS

École d'Ingénieurs de l'Université d'Orléans

Éléments de la mécanique de rupture

- *Défauts de structures et/ou de matériaux*
Facteur de concentration de contrainte

A retenir:

- La présence d'un défaut, d'une hétérogénéité ou d'un changement de section d'une structure conduit à une redistribution non uniforme des contraintes dans la structure. Le facteur de concentration de contrainte est le ratio entre la contrainte réelle dans la structure et la contrainte uniforme calculée
- Le facteur de concentration de contraintes K_t dépend seulement de la géométrie du défaut et du type de chargement
- Les formules théoriques ne donnent qu'une estimation : mais beaucoup de cas réels peuvent être simplifiés à des cas théoriques
- Pour les « défauts » avec un rayon de courbature qui tend vers zéro, le facteur de concentration de contrainte est théoriquement infini – la contrainte serait infinie



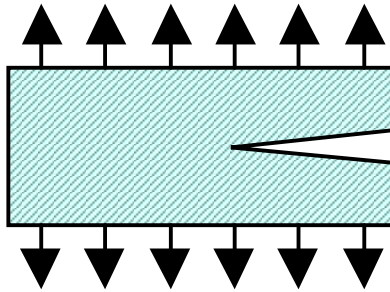
Éléments de la mécanique de rupture

- **Introduction**
- **Défauts dans un matériau : Facteur de concentration de contrainte**
- **Modes de propagation de fissures**
- Contraintes et déplacements autour d'une fissure
- Critères de propagation de fissures
- Endommagement
- Fracture fragile et ductile
- Fatigue
- Dimensionnement à la fatigue

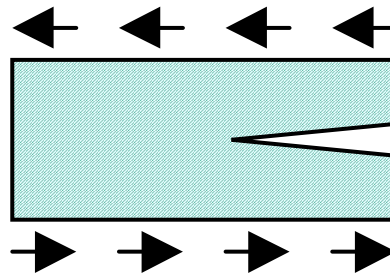


Éléments de la mécanique de rupture

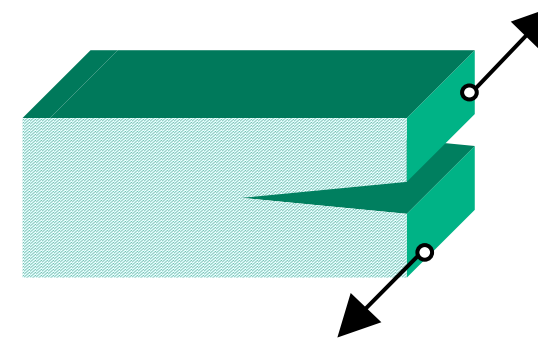
- *Modes de propagation de fissures*



a) *Mode I*
Traction directe



b) *Mode II*
Cisaillement dans le plan



c) *Mode III*
Cisaillement antiplan

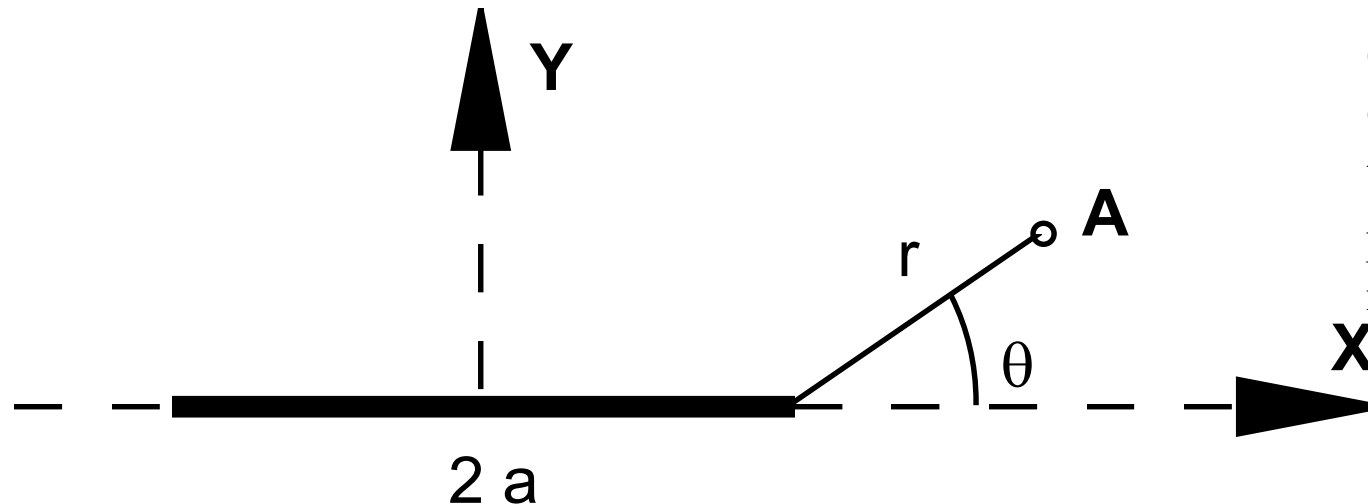
En pratique on trouve une combinaison de ce type de propagation



Éléments de la mécanique de rupture

- ***Facteur d'intensité de contrainte***
(Stress Intensity factor SIF)

Contraintes autour d'une fissure plane



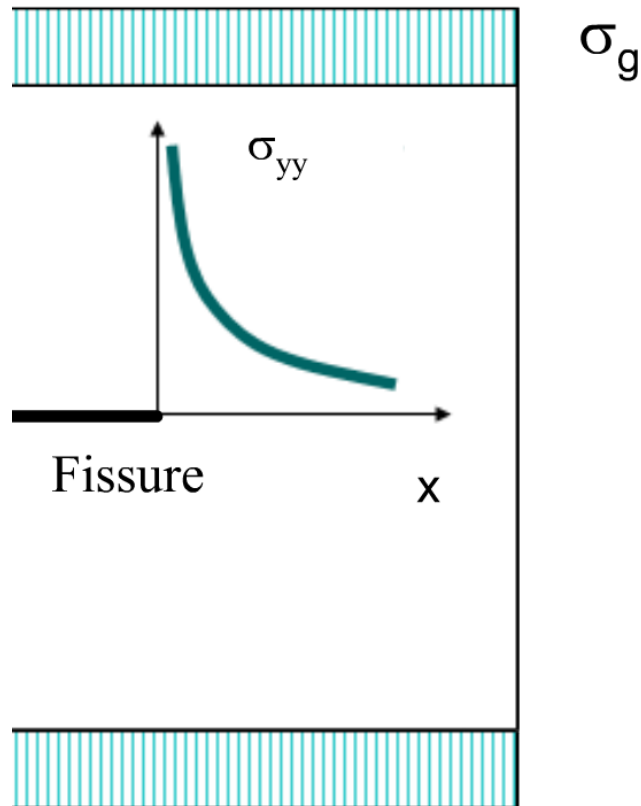
Une fissure plane de longueur $2a$, dans un plan infini. À l'infini le solide est soumis à un état de contrainte uniforme. On s'intéresse de la contrainte en un point A, se trouvant à une distance r de la pointe de la fissure en angle θ par rapport au plan de la fissure



Éléments de la mécanique de rupture

- ***Contraintes autour des fissures***

La distribution des contraintes d'ouverture peut être représentée par une distribution en $1/\sqrt{x}$



(Solution de Westergaard)

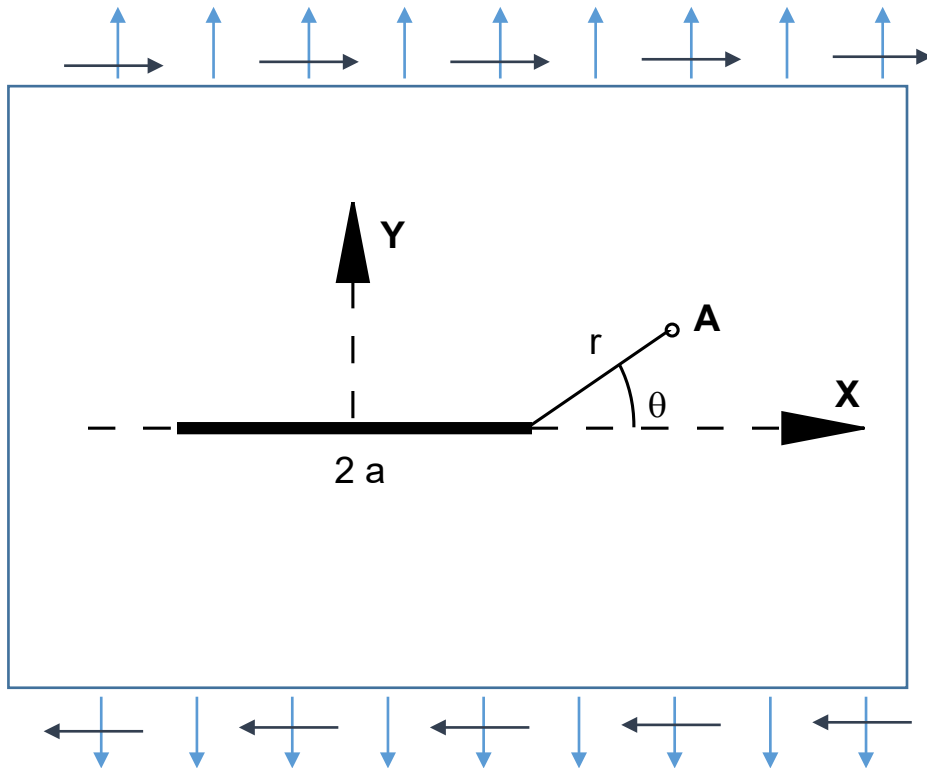
$$\sigma_{yy} = \frac{\sigma_g \cdot x}{\sqrt{x^2 - a^2}}$$



Éléments de la mécanique de rupture

- **Facteur d'intensité de contrainte**
Mode I

Contraintes autour d'une fissure plane



$$\begin{aligned}\sigma_{xx} &= \frac{K_I}{\sqrt{2\pi r}} \cos\left(\frac{\theta}{2}\right) \left[1 - \sin\left(\frac{\theta}{2}\right) \sin\left(\frac{3\theta}{2}\right) \right] \\ \sigma_{yy} &= \frac{K_I}{\sqrt{2\pi r}} \cos\left(\frac{\theta}{2}\right) \left[1 + \sin\left(\frac{\theta}{2}\right) \sin\left(\frac{3\theta}{2}\right) \right] \\ \sigma_{xy} &= \frac{K_I}{\sqrt{2\pi r}} \cos\left(\frac{\theta}{2}\right) \sin\left(\frac{\theta}{2}\right) \sin\left(\frac{3\theta}{2}\right)\end{aligned}$$

Stress Intensity Factor (SIF)

$$\left. \begin{aligned} K_I(\pm l) \\ K_{II}(\pm l) \end{aligned} \right\} = \frac{1}{\sqrt{\pi l}} \int_{-l}^l \sqrt{\frac{(l \pm \xi)}{(l \mp \xi)}} \begin{Bmatrix} p(\xi) \\ \tau(\xi) \end{Bmatrix} d\xi$$



Éléments de la mécanique de rupture

- *Facteur d'intensité de contrainte*

Mode I

$$\sigma_{xx} = \frac{K_I}{\sqrt{2\pi r}} \cos\left(\frac{\theta}{2}\right) \left[1 - \sin\left(\frac{\theta}{2}\right) \sin\left(\frac{3\theta}{2}\right) \right]$$

$$\sigma_{yy} = \frac{K_I}{\sqrt{2\pi r}} \cos\left(\frac{\theta}{2}\right) \left[1 + \sin\left(\frac{\theta}{2}\right) \sin\left(\frac{3\theta}{2}\right) \right]$$

$$\sigma_{xy} = \frac{K_I}{\sqrt{2\pi r}} \cos\left(\frac{\theta}{2}\right) \sin\left(\frac{\theta}{2}\right) \sin\left(\frac{3\theta}{2}\right)$$

Mode II

$$\sigma_{xx} = \frac{K_{II}}{\sqrt{2\pi r}} \sin\left(\frac{\theta}{2}\right) \left[2 + \cos\left(\frac{\theta}{2}\right) \cos\left(\frac{3\theta}{2}\right) \right]$$

$$\sigma_{yy} = \frac{K_{II}}{\sqrt{2\pi r}} \left[\sin\left(\frac{\theta}{2}\right) \cos\left(\frac{\theta}{2}\right) \sin\left(\frac{3\theta}{2}\right) \right]$$

$$\sigma_{xy} = \frac{K_{II}}{\sqrt{2\pi r}} \cos\left(\frac{\theta}{2}\right) \left[1 - \sin\left(\frac{\theta}{2}\right) \sin\left(\frac{3\theta}{2}\right) \right]$$

Stress Intensity Factor (SIF)

$$\left. \begin{matrix} K_I(\pm l) \\ K_{II}(\pm l) \end{matrix} \right\} = \frac{1}{\sqrt{\pi l}} \int_{-l}^l \sqrt{\frac{(l \pm \xi)}{(l \mp \xi)}} \left\{ \begin{matrix} p(\xi) \\ \tau(\xi) \end{matrix} \right\} d\xi$$

Mode III

$$\sigma_{xz} = \frac{K_{III}}{\sqrt{2\pi r}} \sin\left(\frac{\theta}{2}\right)$$

$$\sigma_{yz} = \frac{K_{III}}{\sqrt{2\pi r}} \cos\left(\frac{\theta}{2}\right)$$

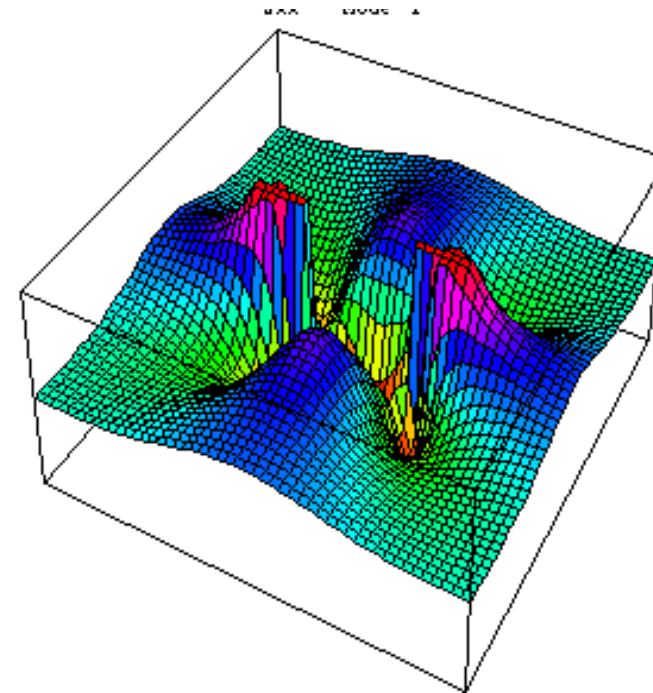
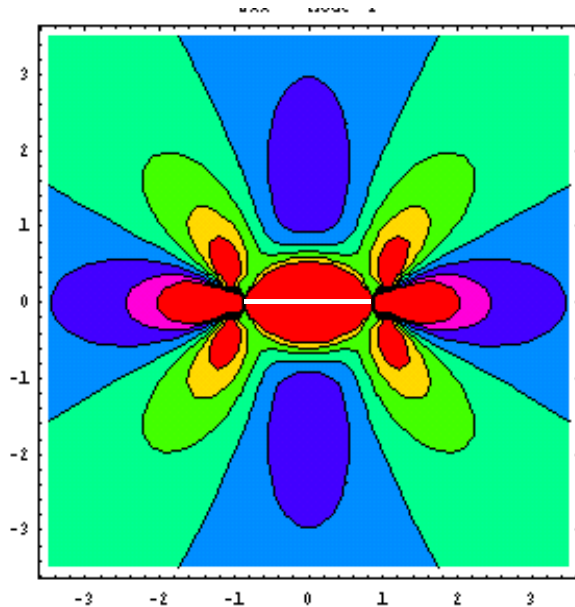


Éléments de la mécanique de rupture

- *Contraintes autour des fissures*

MODE I

σ_{xx} stress



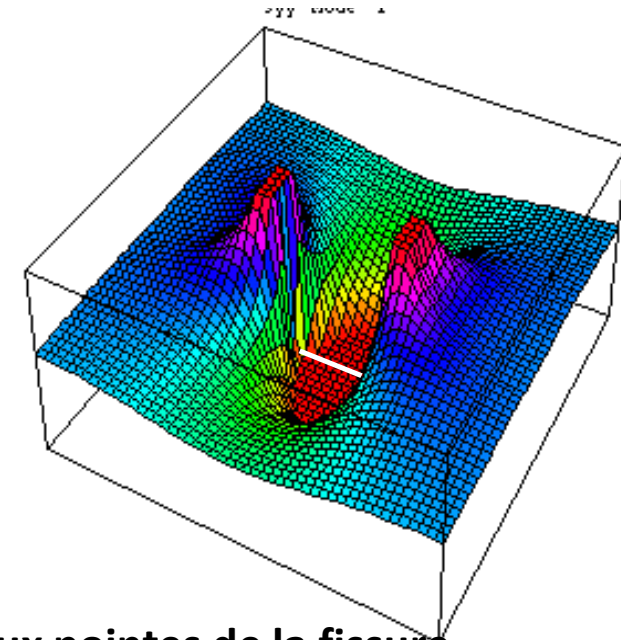
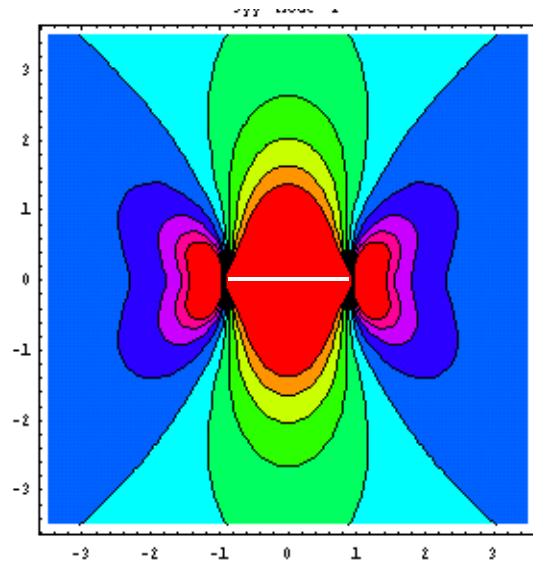


Éléments de la mécanique de rupture

- *Contraintes autour des fissures*

MODE I

σ_{yy} stress



« Paysage » très accidenté, avec des pics de contraintes infinies aux pointes de la fissure

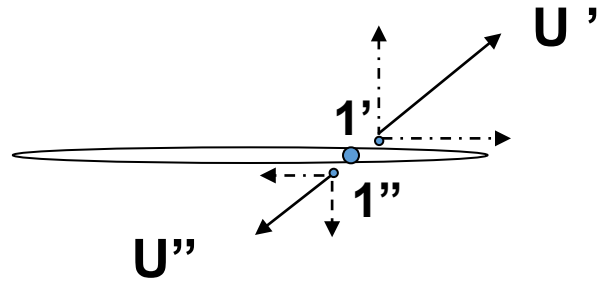
$$\sigma_{ij} = \frac{K_i}{\sqrt{2\pi r}} f(\theta)$$

La contrainte $\sim \frac{K_i}{\sqrt{2\pi r}}$



Éléments de la mécanique de rupture

- *Discontinuité des déplacements*



$$\begin{aligned} [u_x] &= u_x(r, \pi) - u_x(r, -\pi) \\ [u_y] &= u_y(r, \pi) - u_y(r, -\pi) \end{aligned}$$

$$[u_n(r)] = \frac{8(1-\nu^2)}{E} K_I \sqrt{\frac{r}{2\pi}}$$

$$[u_t(r)] = \frac{8(1-\nu^2)}{E} K_{II} \sqrt{\frac{r}{2\pi}}$$

Sens physique des facteurs d'intensité des contraintes

$$\langle [u] \rangle = \frac{\pi l}{E' t}$$

Le facteur d'intensité des fissures (SIF) représente la sévérité de la discontinuité des déplacements à travers une fissure

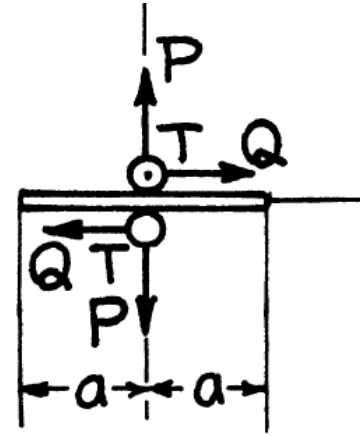


Éléments de la mécanique de rupture

• *Facteur d'intensité de contrainte*

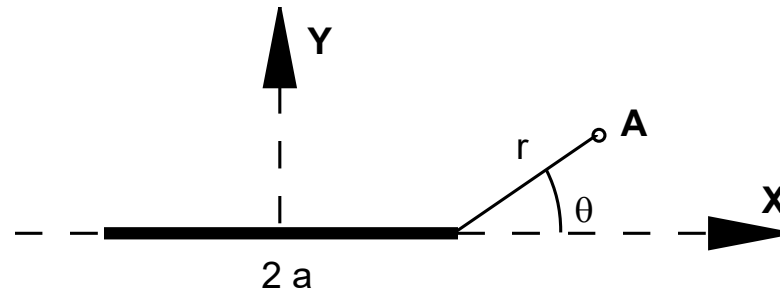
SIF pour quelques cas particuliers :

1) Fissure plan , chargée au centre



$$\begin{Bmatrix} K_I \\ K_{II} \\ K_{III} \end{Bmatrix} = \frac{1}{\sqrt{\pi a}} \begin{Bmatrix} P \\ Q \\ T \end{Bmatrix}$$

2) Fissure plan , chargée à l'infini



$$K_I = \sigma \sqrt{\pi a}$$



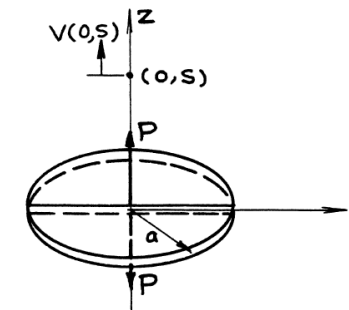
Éléments de la mécanique de rupture

- *Facteur d'intensité de contrainte*

SIF pour quelques cas particuliers :

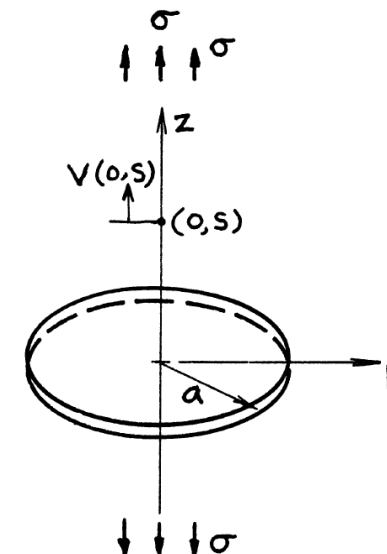
3) Fissure en forme de disk (penny chape) , chargée au centre

$$K_I = \frac{P}{(\pi a)^{3/2}}$$



4) Fissure de disk (penny chape) , chargée à l'infini

$$K_I = \frac{2}{\pi} \sigma \sqrt{\pi a}$$



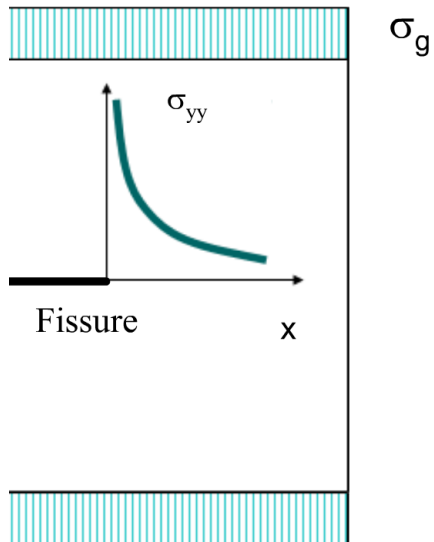


Éléments de la mécanique de rupture

- **Facteur d'intensité de contrainte**

Facteur de correction pour géométrie finie de la structure:

La distribution des contraintes d'ouverture peut être représentée par une distribution en $1/\sqrt{x}$



σ_g

(Solution de Westergaard)

$$\sigma_{yy} = \frac{\sigma_g \cdot x}{\sqrt{x^2 - a^2}}$$

Afin d'assurer la totalité de la force transmise, la distribution des contraintes pour une structure de dimensions finies est modifiée de la façon suivante:

La singularité de contraintes en $1/\sqrt{r}$ est conservée.

Le facteur d'intensité de contraintes qui fixe l'amplitude de la distribution est amplifié par un facteur de correction $F_\sigma(a/W)$ appelé facteur de correction géométrique.

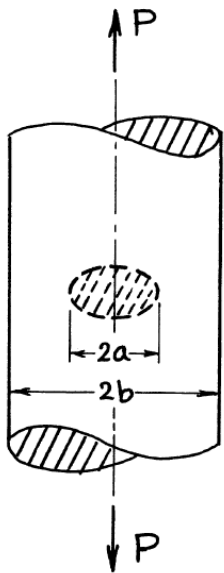
$$K = \sigma_g \sqrt{\pi a} F_\sigma \left(\frac{a}{W} \right)$$



Éléments de la mécanique de rupture

- *Facteur d'intensité de contrainte*

SIF pour quelques cas particuliers :

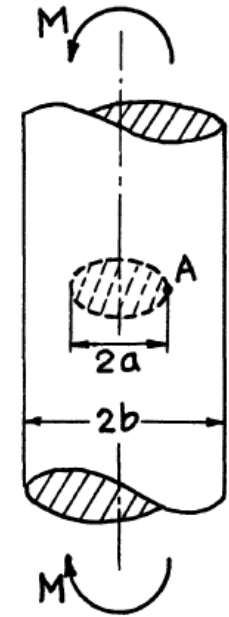


$$\sigma = \frac{P}{\pi b^2}$$

$$K_I = \frac{2}{\pi} \sigma \sqrt{\pi a} \cdot F\left(\frac{a}{b}\right)$$

$$F\left(\frac{a}{b}\right) = \frac{1 - \frac{1}{2} \frac{a}{b} + .148 \left(\frac{a}{b}\right)^3}{\sqrt{1 - \frac{a}{b}}}$$

$$\begin{aligned} \sigma_N &= \frac{4Ma}{\pi(b^4 - a^4)} \\ K_{IA} &= \sigma_N \sqrt{\pi a} F_1(a/b) \\ &= \sigma_N \sqrt{\pi(b-a)} F_2(a/b) \\ &= \sigma_N \sqrt{\pi b} F_3(a/b) \\ G(a/b) &= \frac{F_1(a/b)}{\sqrt{1-a/b}} = \frac{F_2(a/b)}{\sqrt{a/b}} = \frac{F_3(a/b)}{\sqrt{a/b(1-a/b)}} \\ G(a/b \rightarrow 0) &= 4/(3\pi) \\ G(a/b \rightarrow 1) &= 2/\sqrt{\pi^2 - 4} \\ G(a/b) &= \frac{4}{3\pi} \left\{ 1 + \frac{1}{2} \frac{a}{b} + \frac{3}{8} \left(\frac{a}{b}\right)^2 + \frac{5}{16} \left(\frac{a}{b}\right)^3 \right. \\ &\quad \left. - \frac{93}{128} \left(\frac{a}{b}\right)^4 + 0.483 \left(\frac{a}{b}\right)^5 \right\} \end{aligned}$$

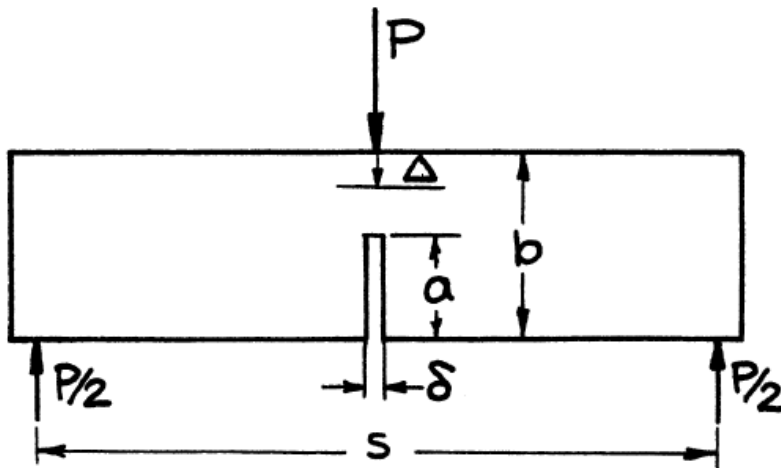




Eléments de la mécanique de rupture

- *Facteur d'intensité de contrainte*

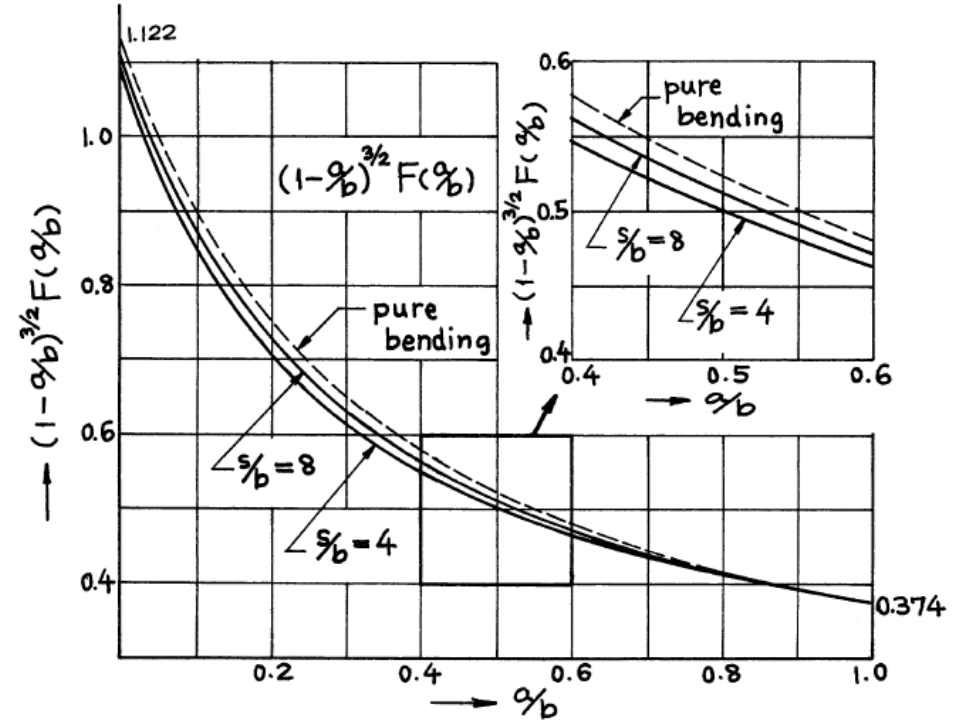
SIF pour quelques cas particuliers :



$$\sigma = \frac{6M}{b^2} \left(M = \frac{Ps}{4} \right)$$

For $s/b = 8$,

$$K_I = \sigma \sqrt{\pi a} F(a/b)$$



$$F(a/b) = 1.106 - 1.552(a/b) + 7.71(a/b)^2 - 13.53(a/b)^3 + 14.23(a/b)^4$$



POLYTECH[®]
ORLÉANS

École d'Ingénieurs de l'Université d'Orléans

Éléments de la mécanique de rupture

• *Contraintes et facteur d'intensité de contrainte*

Exercice 2:

a. Calculer le facteur d'intensité de contrainte d'une fissure se trouvant au milieu d'une barre de section circulaire de rayon r encastré d'une coté et étirée dans l'autre coté par une force P . La fissure est supposé circulaire de rayon a

Application : $r=2\text{cm}$, $a=0.2\text{mm}$ $P=750\text{kN}$

b) Dans les conditions de l'exercice précédent on suppose que la fissure forme un angle α avec l'axe de la barre.

- Quelles modes de chargements sont susceptibles de se manifester
- Calculez les facteurs d'intensité de contrainte respectives à chaque mode



POLYTECH
ORLÉANS

École d'Ingénieurs de l'Université d'Orléans

Éléments de la mécanique de rupture

- Introduction
- Défauts dans un matériau : Facteur de concentration de contrainte
- Modes de propagation de fissures
- Contraintes et déplacements autour d'une fissure
- **Critères de propagation de fissures**
- Endommagement
- Fracture fragile et ductile
- Fatigue
- Dimensionnement à la fatigue

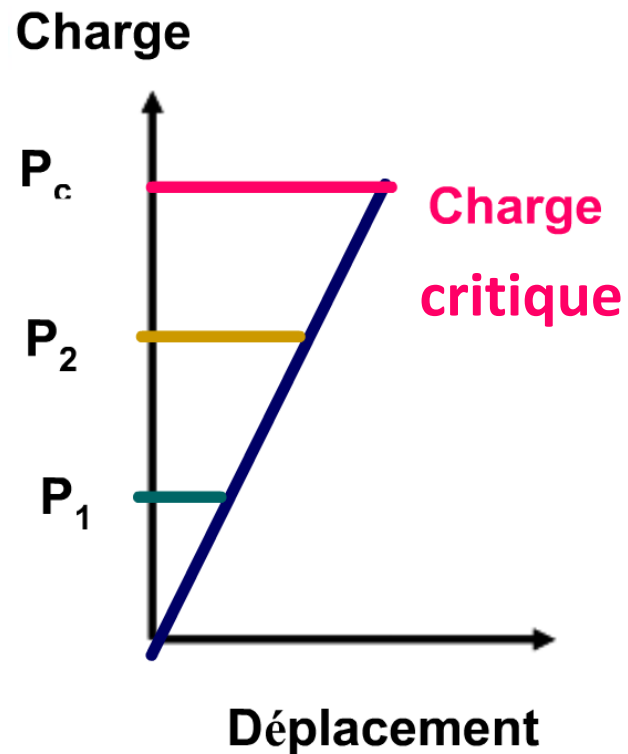


Éléments de la mécanique de rupture

- *Critère de propagation*

Approche classique (continue) de dimensionnement

$$\sigma \leq \sigma_{\text{lim}}$$

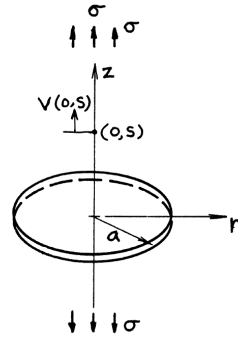


**Problème dans le cas des fissures :
la contrainte à la pointe de la
fissure est illimitée !!**



Éléments de la mécanique de rupture

- Critère de propagation

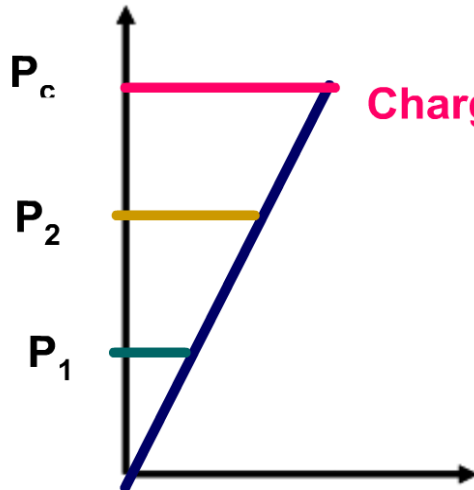


$$K_I = \frac{\sigma \sqrt{\pi a}}{\sqrt{\pi}}$$

$$\sigma_{yy} = \frac{K_I}{\sqrt{2\pi r}} \cos\left(\frac{\theta}{2}\right) \left[1 + \sin\left(\frac{\theta}{2}\right) \sin\left(\frac{3\theta}{2}\right) \right]$$

Approche continue

Charge

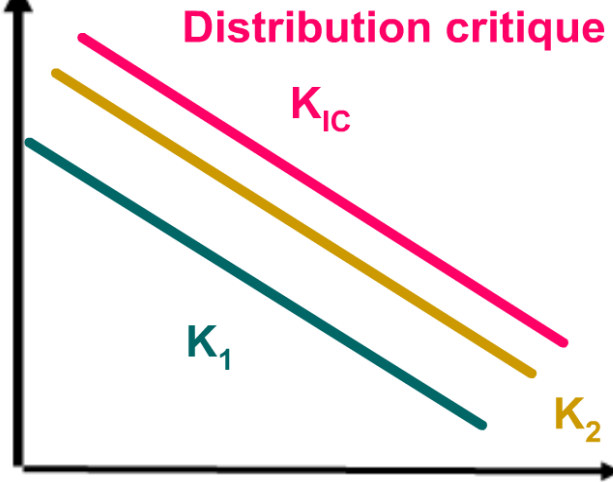


Déplacement

Charge critique

Fissure

Log σ_{yy}



Distribution critique

K_{IC}

K_1

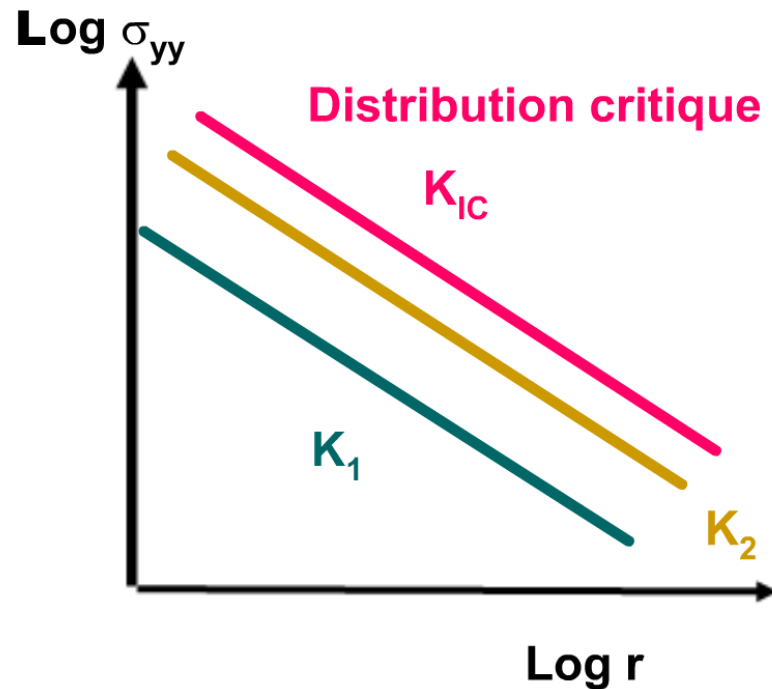
K_2

Log a



Éléments de la mécanique de rupture

- *Critère de propagation*



La rupture se produit lorsque le facteur d'intensité de contraintes K atteint une valeur critique en déformations planes K_{Ic} , (**ténacité**) en contraintes planes K_c .

$$K_{Ic} = \sigma_c \sqrt{\pi a} \cdot F \left(\frac{a}{W} \right)$$

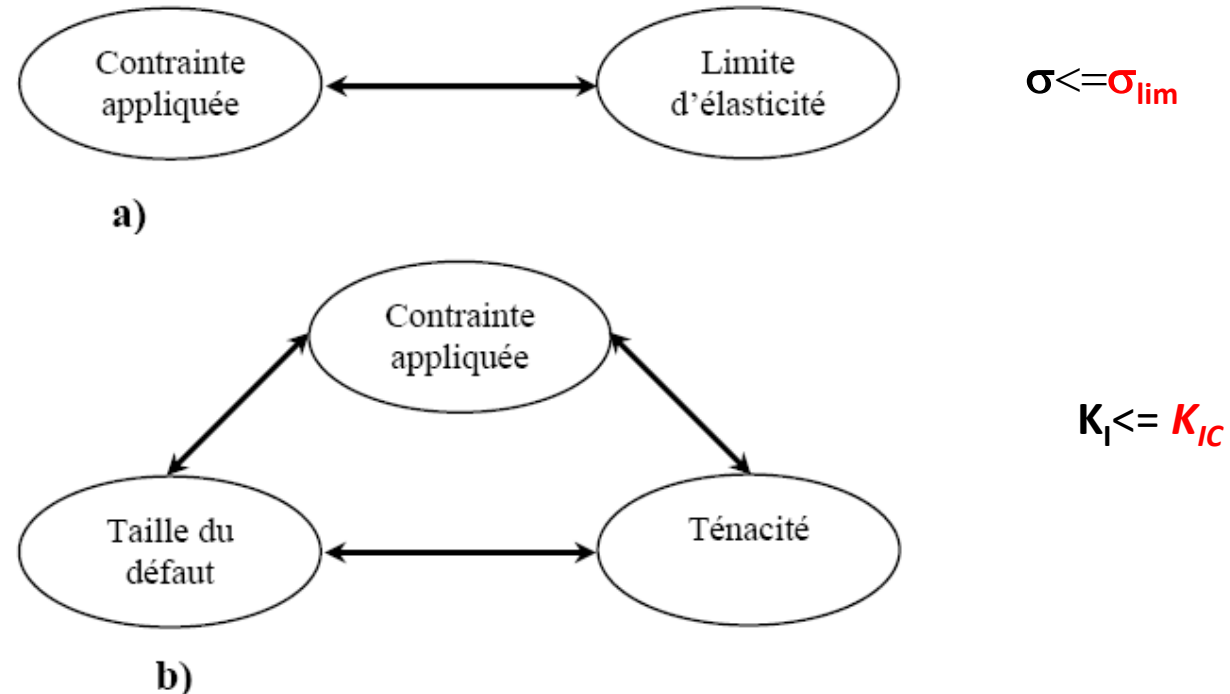


Éléments de la mécanique de rupture

• Critère de propagation

A retenir :

-Nécessité d'une approche différente de l'approche classique dans l'estimation de l'état limite et de l'état de service



- Facteur d'intensité de contrainte K_I dépendant de la géométrie de défaut et du chargement

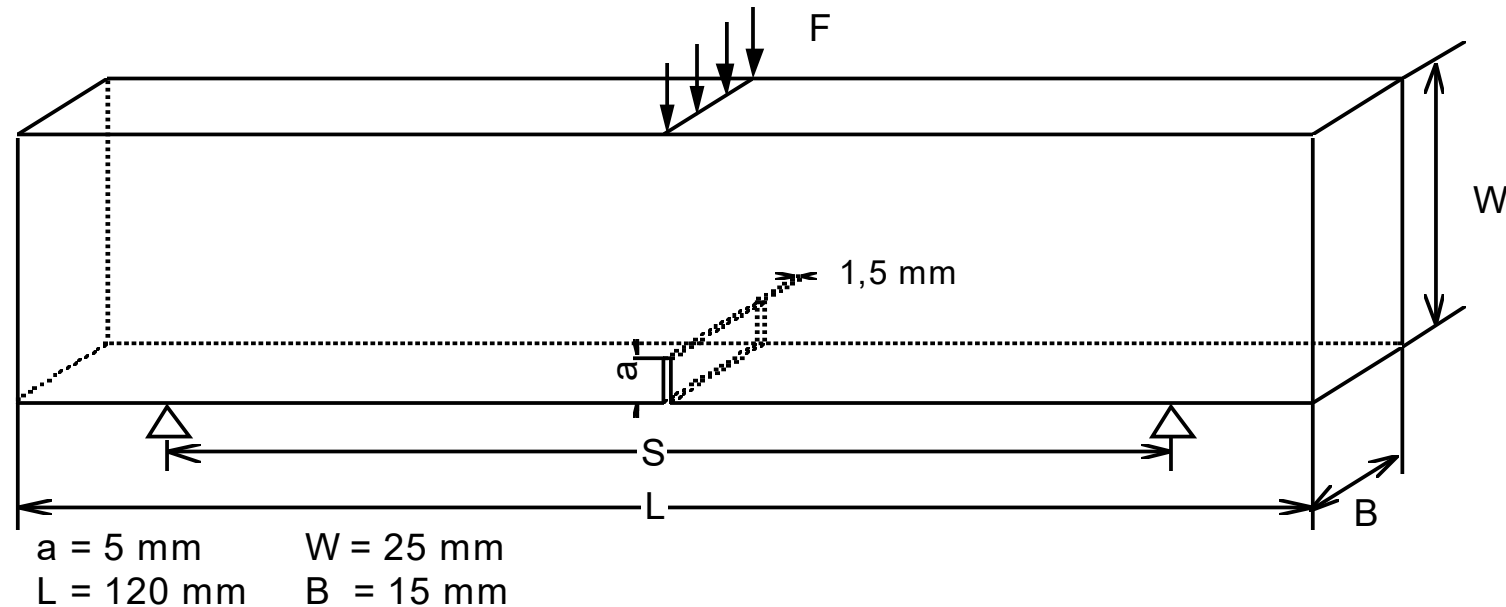


Éléments de la mécanique de rupture

- ***Critère de propagation***

Ténacité (K_{IC}) : propriétés intrinsèques d'un matériau, unités ($\text{MPa}\cdot\text{m}^{1/2}$)

Essai de flexion 3 points



$a = 5 \text{ mm}$ $W = 25 \text{ mm}$
 $L = 120 \text{ mm}$ $B = 15 \text{ mm}$

$$K_{IC} = \frac{3F_c S \sqrt{a}}{2W^2 B} (1,93 - 3,07L + 14,53L^2 - 25,11L^3 + 25,80L^4)$$

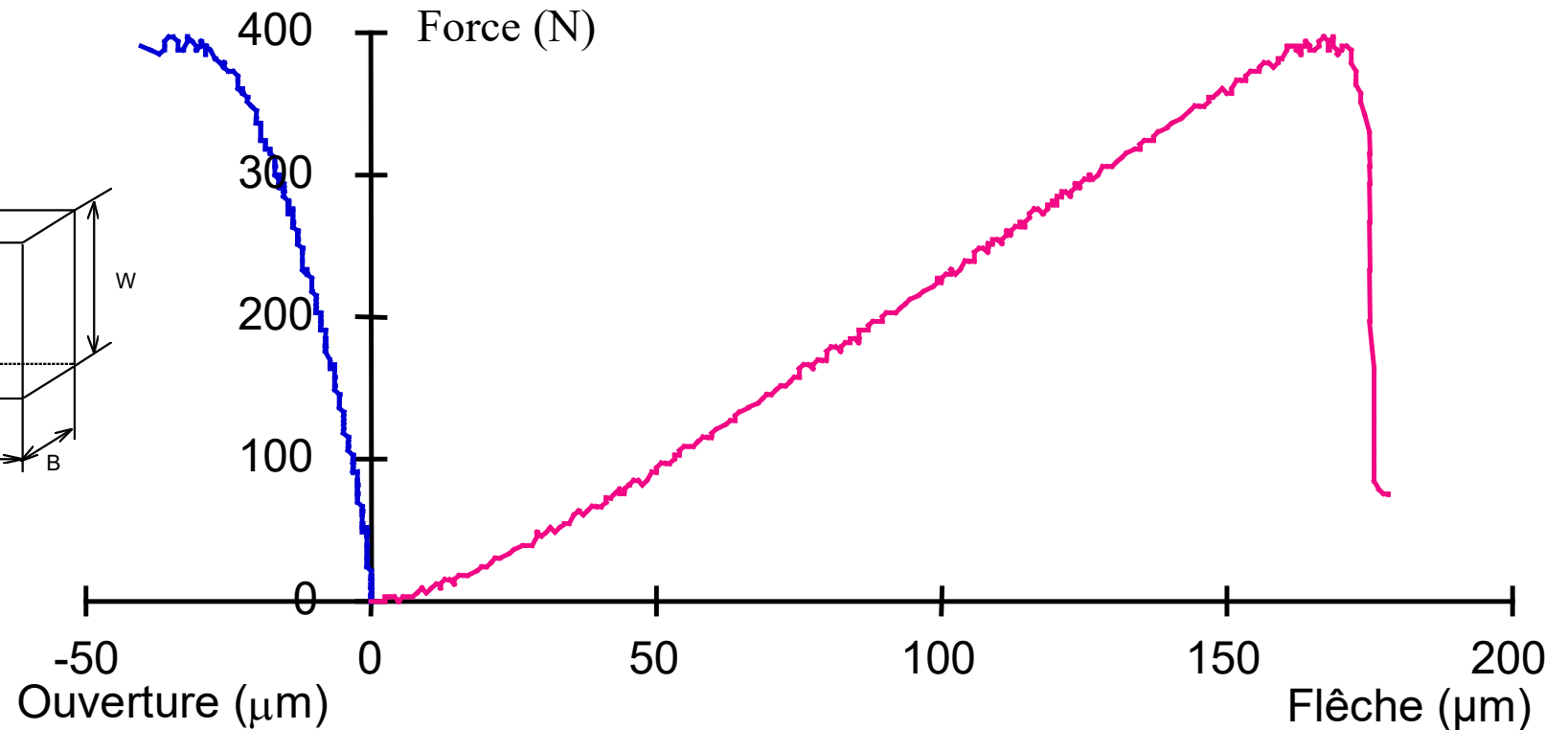
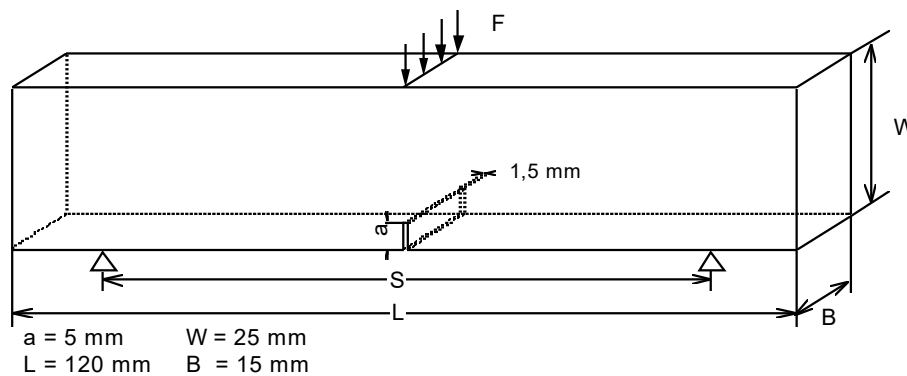


Éléments de la mécanique de rupture

- *Critère de propagation*

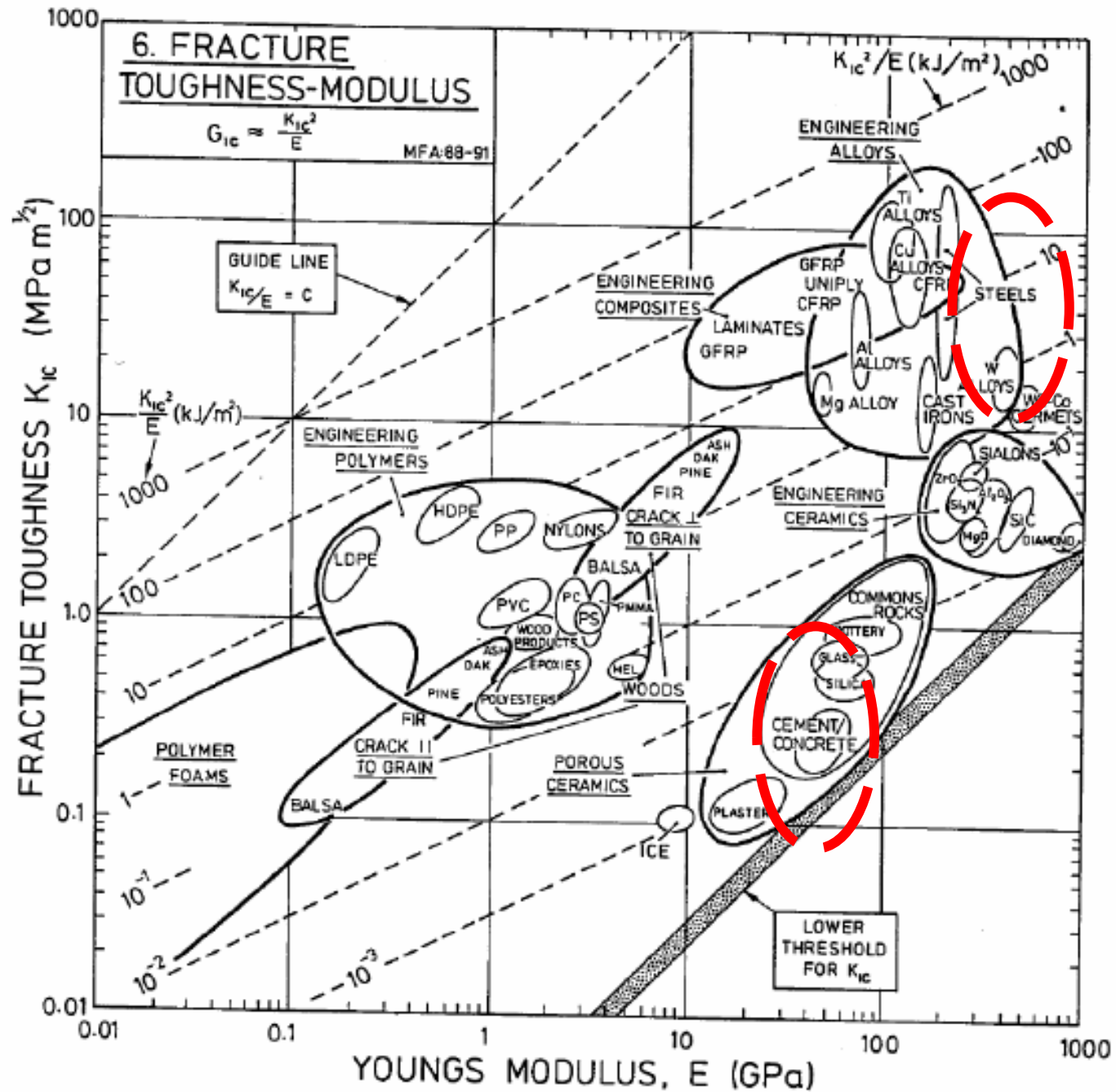
Ténacité (K_{IC}) : propriétés intrinsèques d'un matériau, unités ($\text{MPa}\cdot\text{m}^{1/2}$)

Essai de flexion 3 points





Quelques valeurs
typique de la ténacité
de certains matériaux



Fracture
Propagation

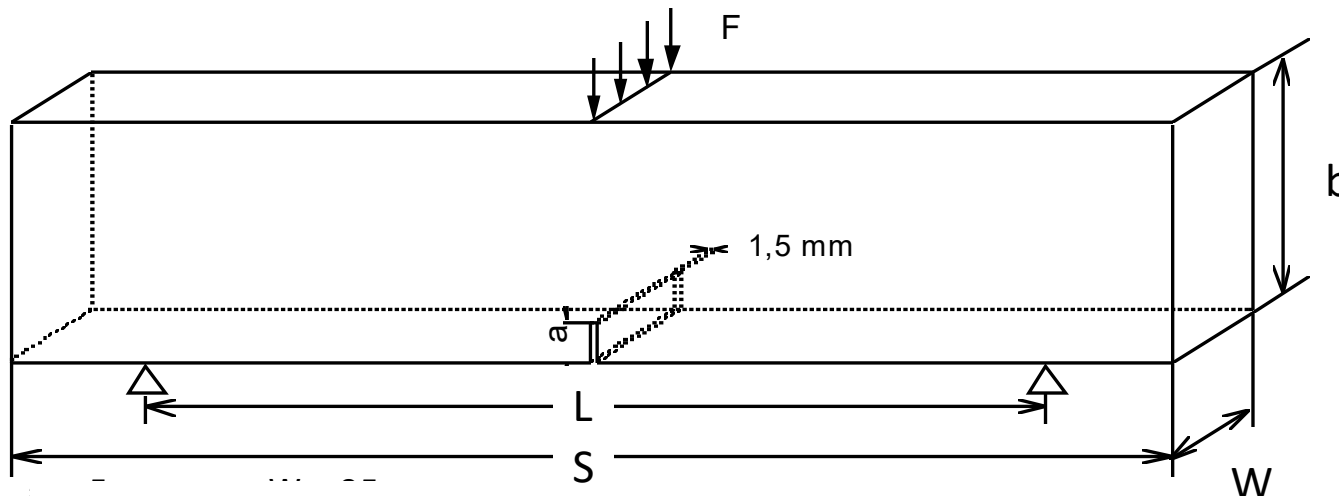


Éléments de la mécanique de rupture

• Critère de propagation

Ténacité (K_{IC}) : propriétés intrinsèques d'un matériau, unités ($\text{MPa}\cdot\text{m}^{1/2}$)

Exercices 3 : En utilisant le graphique force-fleche d'un essai de flexion en 3 points standardisé réalisé sur un béton, identifier sa ténacité K_{IC} , sachant que la force maximale est de 400N.



$a = 5\text{ mm}$ $b = 25\text{ mm}$
 $L = 120\text{ mm}$ $W = 15\text{ mm}$

Pour $L/b=8$

$$K_I = \sigma \sqrt{\pi a} F(a/b)$$

$$F(a/b) = 1.106 - 1.552(a/b) + 7.71(a/b)^2 - 13.53(a/b)^3 + 14.23(a/b)^4$$

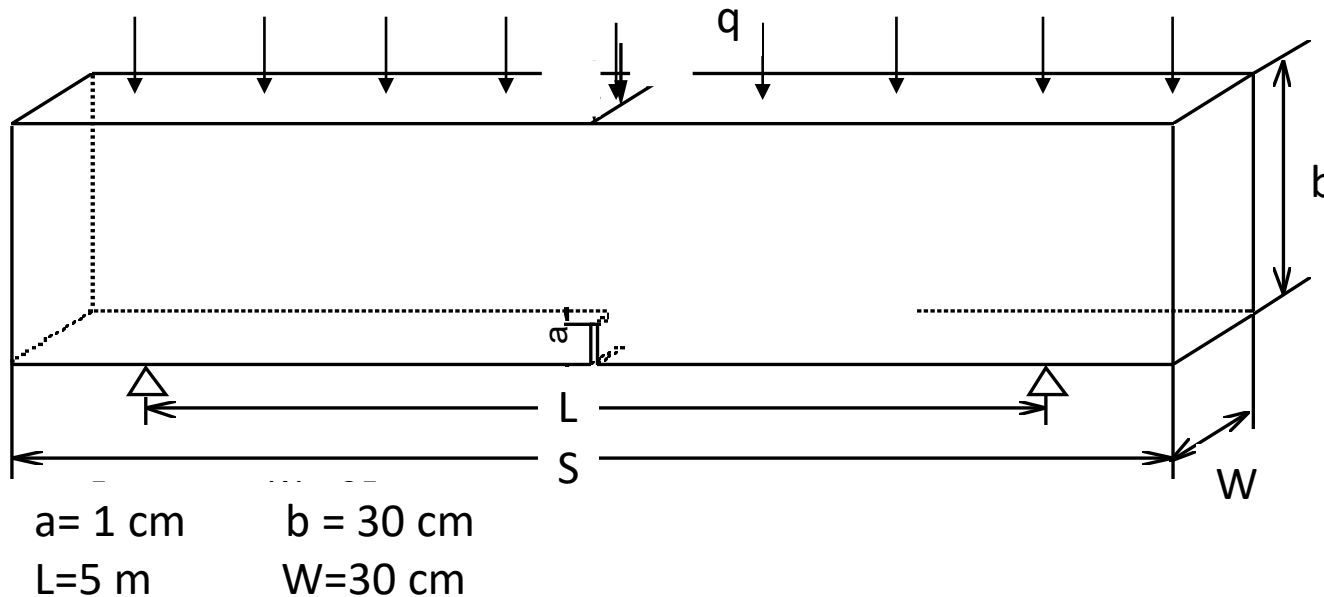


Éléments de la mécanique de rupture

• Critère de propagation

Ténacité (K_{IC}) : propriétés intrinsèques d'un matériau, unités ($\text{MPa}\cdot\text{m}^{1/2}$)

Exercices 4 : Evaluer la capacité portante d'une poutre (en termes de la charge uniforme q) de dimensions 40 cm x 40 cm et longueur entre les appuis (simples) de 5 m. Faites cette même évaluation en considérant l'existence d'une fissure sur toute la largeur de la poutre selon deux approches :



- Approche classique avec réduction de la section
- Approche de MLR

Les propriétés du matériau constituant
 $K_{IC} = 0.8 \text{ MPa}\cdot\text{m}^{1/2}$ $\sigma_{lim} = 4 \text{ MPa}$



Matériaux fissurés

Deux types de problèmes :

Problèmes globaux : propriétés effectives des matériaux fissurés

Problèmes locaux : quand et comment les fissures vont elles se propager ?

Problèmes globaux

Différents schéma de homogénéisation

Schéma autocohérent (self consistent)

Schéma différentiel

Schéma des fissures non-interactives

Schéma de Mori-Tanaka

Schéma de Ponte-Castaneda-Willis (PCW)

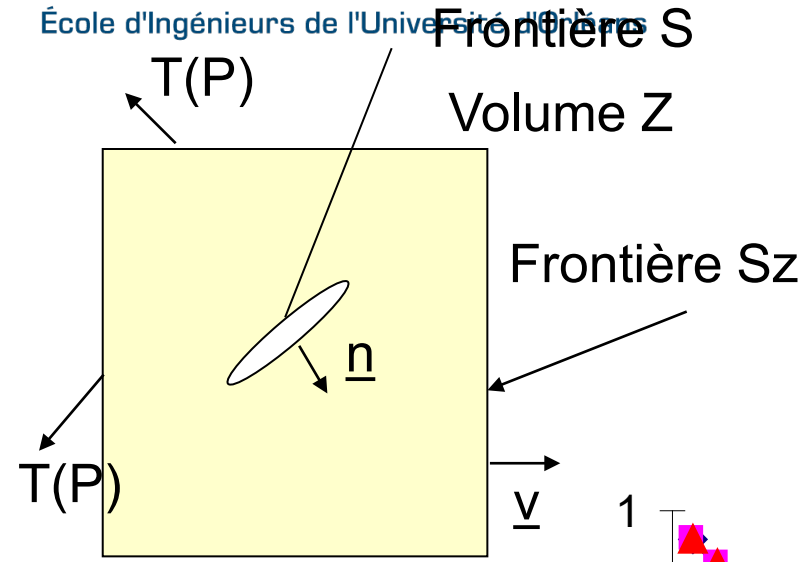


Contraintes et déformations macroscopiques du VER

POLYTECH
ORLÉANS

École d'Ingénieurs de l'Université d'Orléans

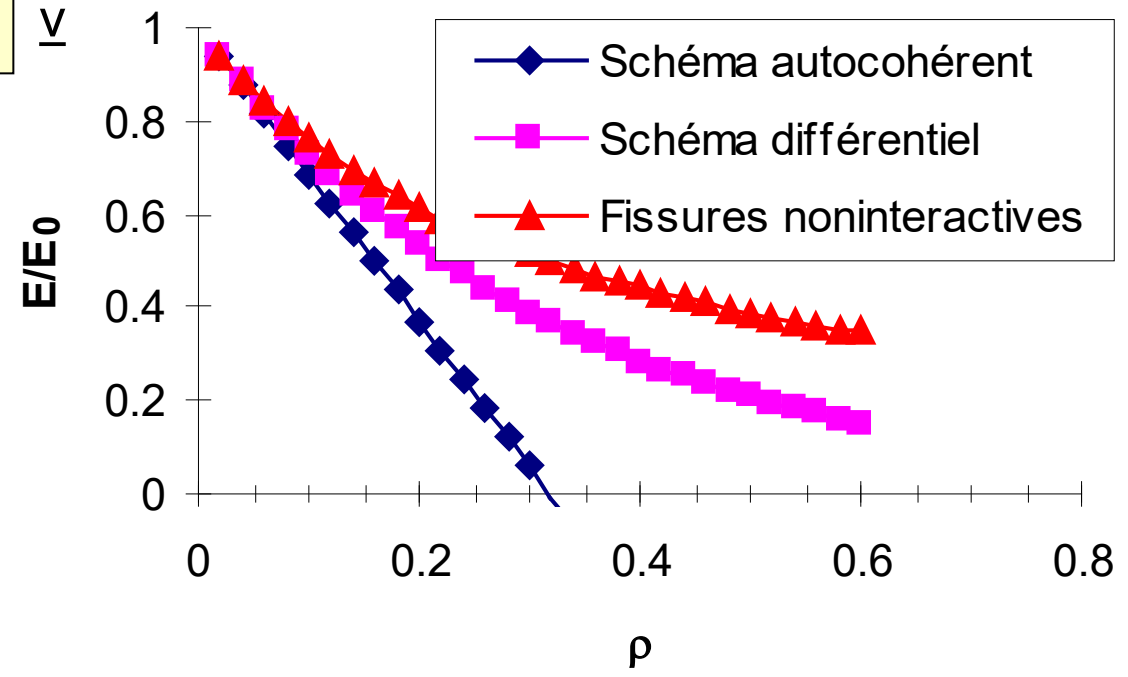
Problème d'Eshelby, 1957



$$\underline{\underline{\Sigma}} = \langle \underline{\underline{\sigma}} \rangle = \frac{1}{V} \int_V \underline{\underline{\sigma}}(x) dV$$

$$V \underline{\underline{\Sigma}} : \underline{\underline{E}} = \int_S \underline{\underline{\sigma}}(x) \underline{u}(x) \cdot \underline{v} dS$$

$$\underline{\underline{E}} = \langle \underline{\underline{\varepsilon}} \rangle + \langle \underline{\underline{\varepsilon}}^{Fiss} \rangle$$





Quelques résultats pour les propriétés effectives via les techniques de changement d'échelle

École d'Ingénieurs de l'Université d'Orléans

Densité de fissuration

$$d = \sum_{i=1}^N a^3$$

$$\varphi = \frac{4}{3} \pi \varepsilon d$$

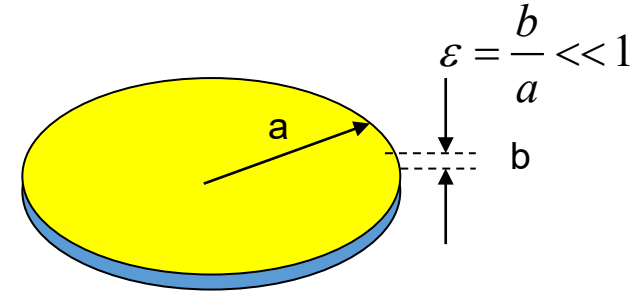
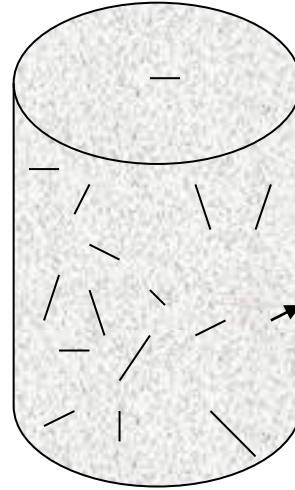


Schéma dilué (fissures ouvertes)

$$\frac{k(d)}{\tilde{k}_0} = 1 - \frac{16}{9} \frac{(1 - \tilde{\nu}_0^2)}{(1 - 2\tilde{\nu}_0)} d, \quad \frac{\mu(d)}{\tilde{\mu}_0} = 1 - \frac{32}{15} \frac{\theta(1 - \tilde{\nu}_0)}{(2 - \tilde{\nu}_0)} d, \quad \theta = \frac{5 - \tilde{\nu}_0}{3}$$

Schéma dilué (fissures fermées)

$$\frac{k(d)}{\tilde{k}_0} = 1, \quad \frac{\mu(d)}{\tilde{\mu}_0} = 1 - \frac{32}{15} \frac{(1 - \tilde{\nu}_0)}{(2 - \tilde{\nu}_0)} d$$



$$\frac{k(d)}{\tilde{k}_0} = 1 - \frac{16(1 - \tilde{\nu}_0^2)d}{9(1 - 2\tilde{\nu}_0) + \frac{16d}{9}(1 + \tilde{\nu}_0)^2},$$
$$\frac{\mu(d)}{\tilde{\mu}_0} = 1 - \frac{480d(1 - \tilde{\nu}_0)\theta}{225(2 - \tilde{\nu}_0) + 64d(4 - 5\tilde{\nu}_0)\theta}, \quad \theta = \frac{5 - \tilde{\nu}_0}{3}$$

PCW scheme for closed crack:

$$\frac{k(d)}{\tilde{k}_0} = 1, \quad \frac{\mu(d)}{\tilde{\mu}_0} = 1 - \frac{480d(1 - \tilde{\nu}_0)}{225(2 - \tilde{\nu}_0) + 64d(4 - 5\tilde{\nu}_0)}$$



– Schéma Mori-Tanaka :

pour un système de fissures ouvertes

$$\frac{E^s}{E_1} = 1 + \frac{16}{3}[1 - (\nu^s)^2]d; \quad \frac{\mu^s}{\mu^{12}} = \frac{\mu^s}{\mu^{13}} = 1 + \frac{16(1 - \nu^s)}{3(2 - \nu^s)}d$$

et pour un système de fissures fermées :

$$\frac{E^s}{E_1} = 1; \quad \frac{\mu^s}{\mu^{12}} = \frac{\mu^s}{\mu^{13}} = 1 + \frac{16(1 - \nu^s)}{3(2 - \nu^s)}d$$

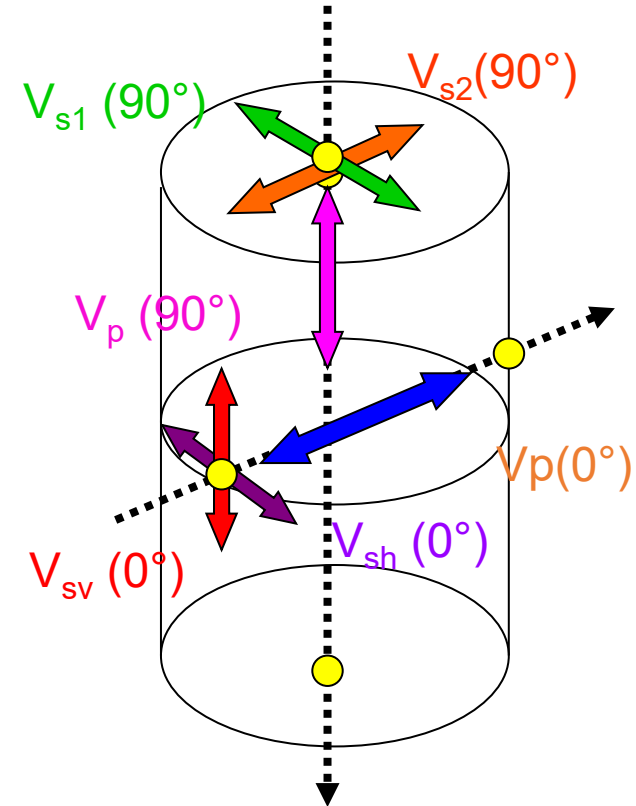


$$\begin{pmatrix} \sigma_{11} \\ \sigma_{22} \\ \sigma_{33} \\ \sigma_{23} \\ \sigma_{13} \\ \sigma_{12} \end{pmatrix} = \begin{bmatrix} C_{11} & C_{12} & C_{13} & 0 & 0 & 0 \\ C_{12} & C_{11} & C_{13} & 0 & 0 & 0 \\ C_{13} & C_{13} & C_{33} & 0 & 0 & 0 \\ 0 & 0 & 0 & C_{44} & 0 & 0 \\ 0 & 0 & 0 & 0 & C_{44} & 0 \\ 0 & 0 & 0 & 0 & 0 & C_{66} \end{bmatrix} \begin{pmatrix} \varepsilon_{11} \\ \varepsilon_{22} \\ \varepsilon_{33} \\ 2\varepsilon_{23} \\ 2\varepsilon_{13} \\ 2\varepsilon_{12} \end{pmatrix}$$

$$\begin{bmatrix} \varepsilon_{11} \\ \varepsilon_{22} \\ \varepsilon_{33} \\ \varepsilon_{23} \\ \varepsilon_{13} \\ \varepsilon_{12} \end{bmatrix} = \begin{bmatrix} \frac{1}{E_1} & -\frac{\nu_{12}}{E_1} & -\frac{\nu_{31}}{E_3} & 0 & 0 & 0 \\ -\frac{\nu_{12}}{E_1} & \frac{1}{E_1} & -\frac{\nu_{31}}{E_3} & 0 & 0 & 0 \\ -\frac{\nu_{13}}{E_1} & -\frac{\nu_{13}}{E_1} & \frac{1}{E_3} & 0 & 0 & 0 \\ 0 & 0 & 0 & \frac{1}{2G_{23}} & 0 & 0 \\ 0 & 0 & 0 & 0 & \frac{1}{2G_{13}} & 0 \\ 0 & 0 & 0 & 0 & 0 & \frac{(1+\nu_{12})}{E_1} \end{bmatrix} \begin{bmatrix} \sigma_{11} \\ \sigma_{22} \\ \sigma_{33} \\ \sigma_{23} \\ \sigma_{13} \\ \sigma_{12} \end{bmatrix}$$

$$C_{33} = \rho V_P^2(90^\circ), \quad C_{11} = \rho V_P^2(0^\circ),$$

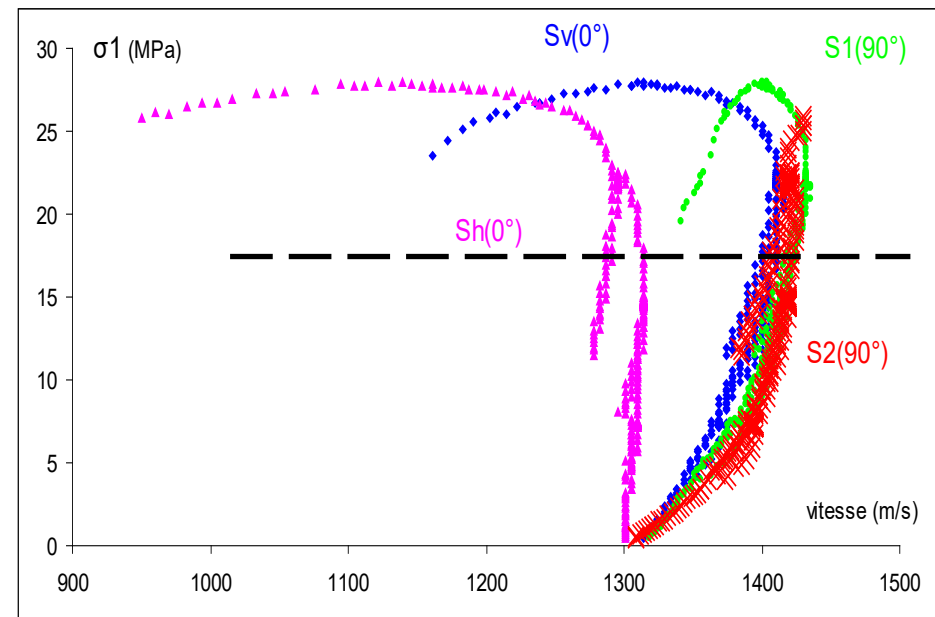
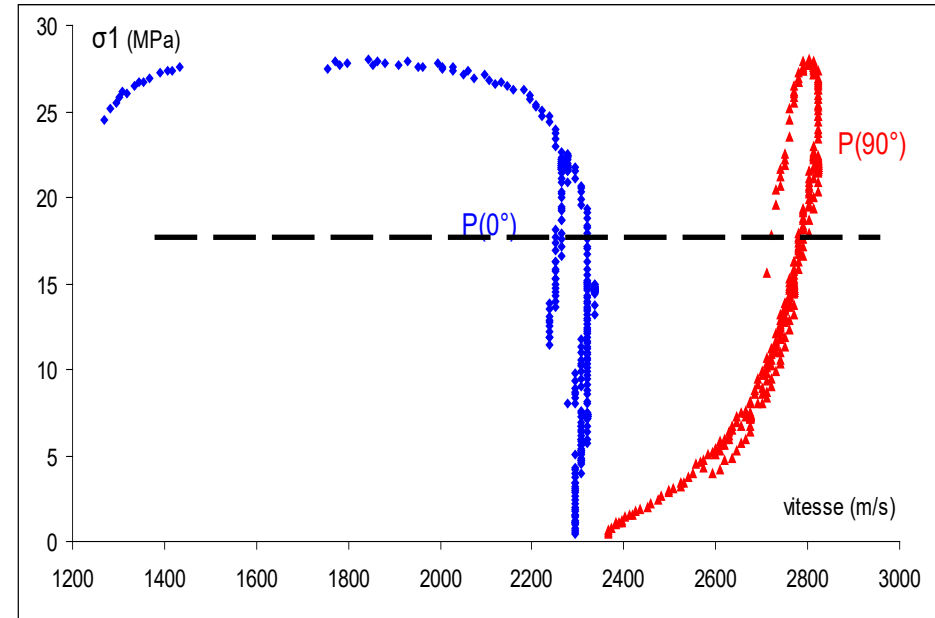
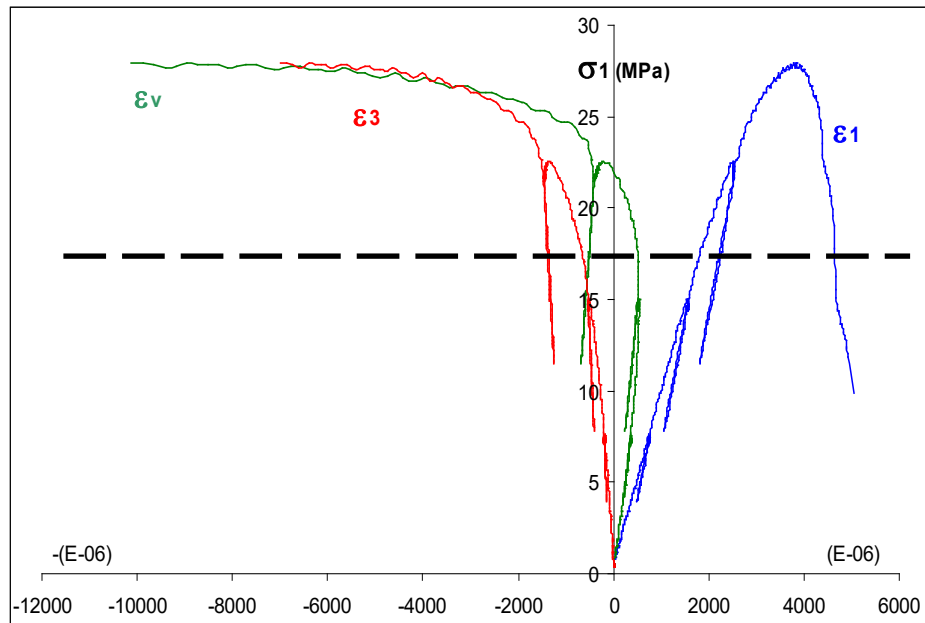
$$C_{66} = \rho V_{SH}^2(0^\circ), \quad C_{44} = \rho V_{SV}^2(0^\circ),$$





Les ondes ultrasonores

Variation des vitesses des ondes ultrasonores
en fonction de la contrainte uniaxiale (minerai de fer)





POLYTECH[®]
ORLÉANS

École d'Ingénieurs de l'Université d'Orléans

Exercice 5

- On étudie l'état de fissuration du mur d'une enceinte nucléaire en effectuant des mesures de vitesses des ondes ultrasonores. La valeur moyenne des vitesses des ondes P dans la direction perpendiculaire avec le mur est de 3400 m/s tandis que la vitesse des ondes S selon cette même direction est de 1800m/s. En connaissant les propriétés initiales du mur en béton ($E=35\text{GPa}$ $\nu=0.25$) faites une estimation de l'état de fissuration du mur. Quel est l'état de fissuration (fissures plutôt ouvertes ou fermées ?)



Rupture fragile et ductile





POLYTECH
ORLÉANS

Résistance théorique (ex. verre)
École d'Ingénieurs de l'Université d'Orléans

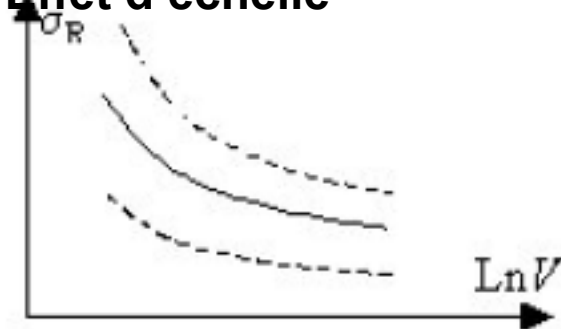
Discordance de la théorie avec les effets observés

$$\gamma = 0.56 \text{ N.m}^{-1}, E = 62000 \text{ MPa} \quad a = 2 \text{ \AA}^\circ$$

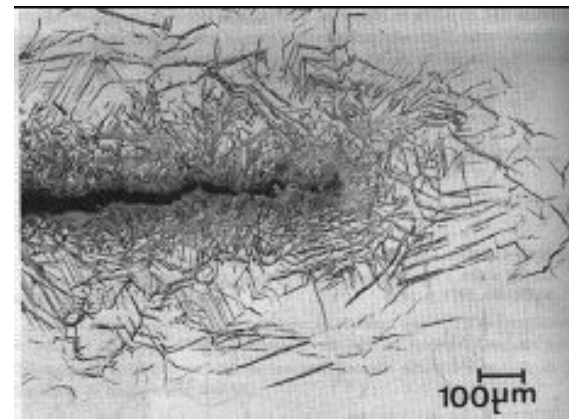
$$\sigma_{th} = \sqrt{\frac{\gamma E}{a}} = 1,3 \cdot 10^4 \text{ MPa}$$

Matériaux	γ (J.m ⁻²)	E (Gpa)	σ_{th} (Gpa)
Fer	2,0	210	46
Cuivre	1,65	120	31
Zinc	0,75	90	18
Aluminium	0,90	73	18
Tungstène	3,0	360	73
Diamant	5,4	1200	180
Chlorure de sodium	0,115	43	6,2
Oxyde d'aluminium	4,6	420	67
Verre ordinaire	0,54	70	14

Effet d'échelle



Effet de « zone »

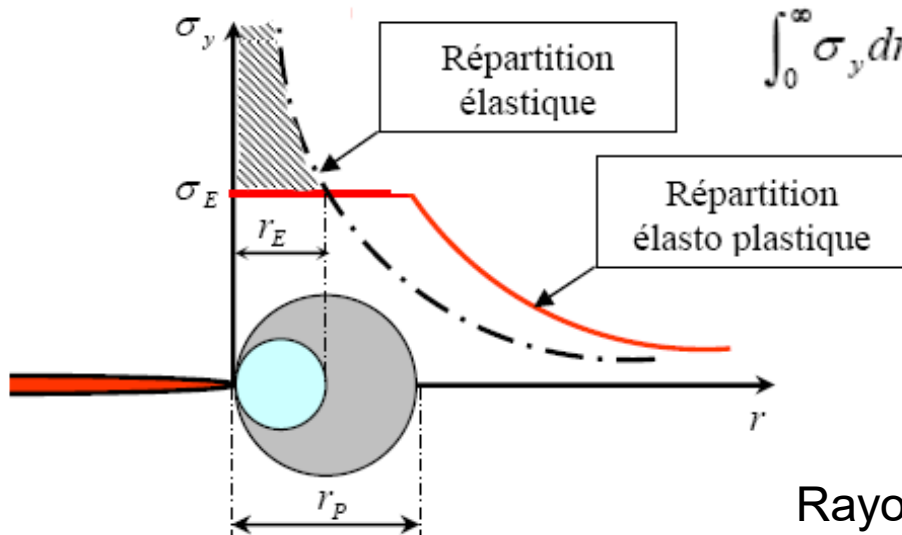
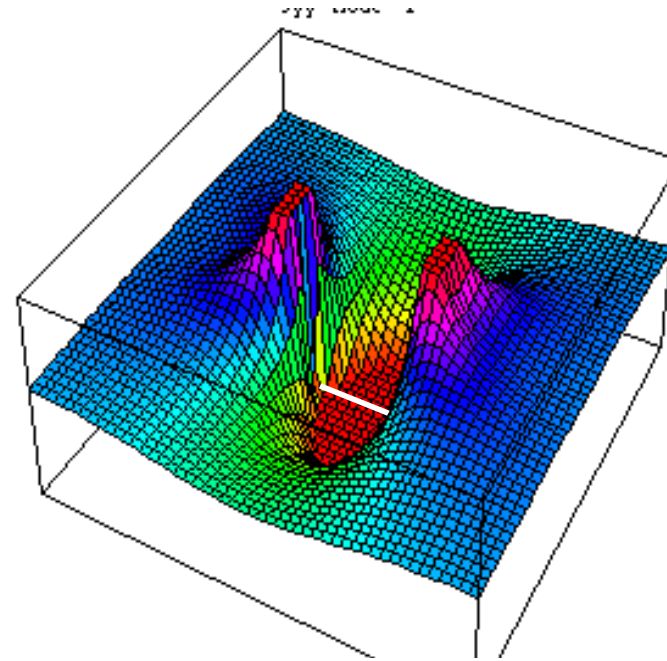




POLYTECH

Correction élasto-plastique

$$\sigma_{xx} = \frac{K_I}{\sqrt{2\pi r}} \cos\left(\frac{\theta}{2}\right) \left[1 - \sin\left(\frac{\theta}{2}\right) \sin\left(\frac{3\theta}{2}\right) \right]$$
$$\sigma_{yy} = \frac{K_I}{\sqrt{2\pi r}} \cos\left(\frac{\theta}{2}\right) \left[1 + \sin\left(\frac{\theta}{2}\right) \sin\left(\frac{3\theta}{2}\right) \right]$$
$$\sigma_{xy} = \frac{K_I}{\sqrt{2\pi r}} \cos\left(\frac{\theta}{2}\right) \sin\left(\frac{\theta}{2}\right) \sin\left(\frac{3\theta}{2}\right)$$



$$\int_0^{\infty} \sigma_y dr = \sigma_E \cdot r_P + \int_{r_E}^{\infty} \sigma_y dr \Rightarrow \sigma_E \cdot r_P = \int_0^{r_E} \sigma_y dr$$

$$r_P = \frac{1}{\pi} \left(\frac{K_I}{\sigma_E} \right)^2 = 2r_E$$

Rayon plastique à la pointe d'une fissure



Rupture fragile et ductile

Rupture fragile = Propagation instable de fissures

Peu de déformations avant la rupture

Appréciée sur certain structures

Rupture ductile = Nucléation de fissures et rupture par leur coalescence

Des déformations irréversibles avant la rupture

- Utile dans les structures urbaines

Théorie du « maillot faible » (Weibull)

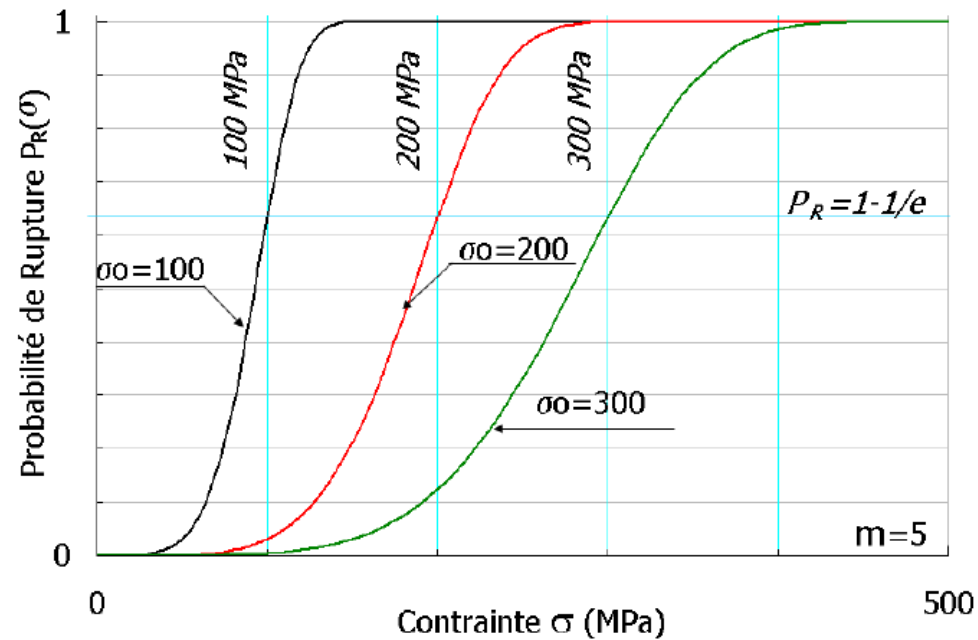
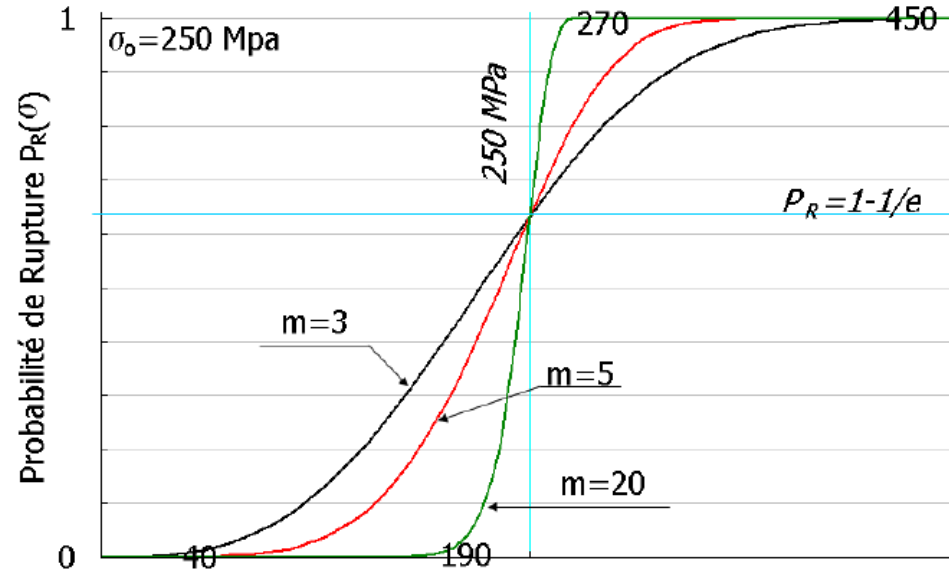
$$P_R(\sigma) = 1 - \text{Exp} \left[- \left(\frac{\sigma}{\sigma_o} \right)^m \right]$$

1) Effet d'échelle

$$P_R(\sigma)^V = 1 - \text{Exp} \left[- \frac{V}{V_o} \left(\frac{\sigma}{\sigma_o} \right)^m \right]$$

2) Effet du chargement non-uniforme

$$P_R^V = 1 - \text{Exp} \left[- \frac{V_{eff}}{V_o} \left(\frac{\sigma_{max}}{\sigma_o} \right)^m \right]$$

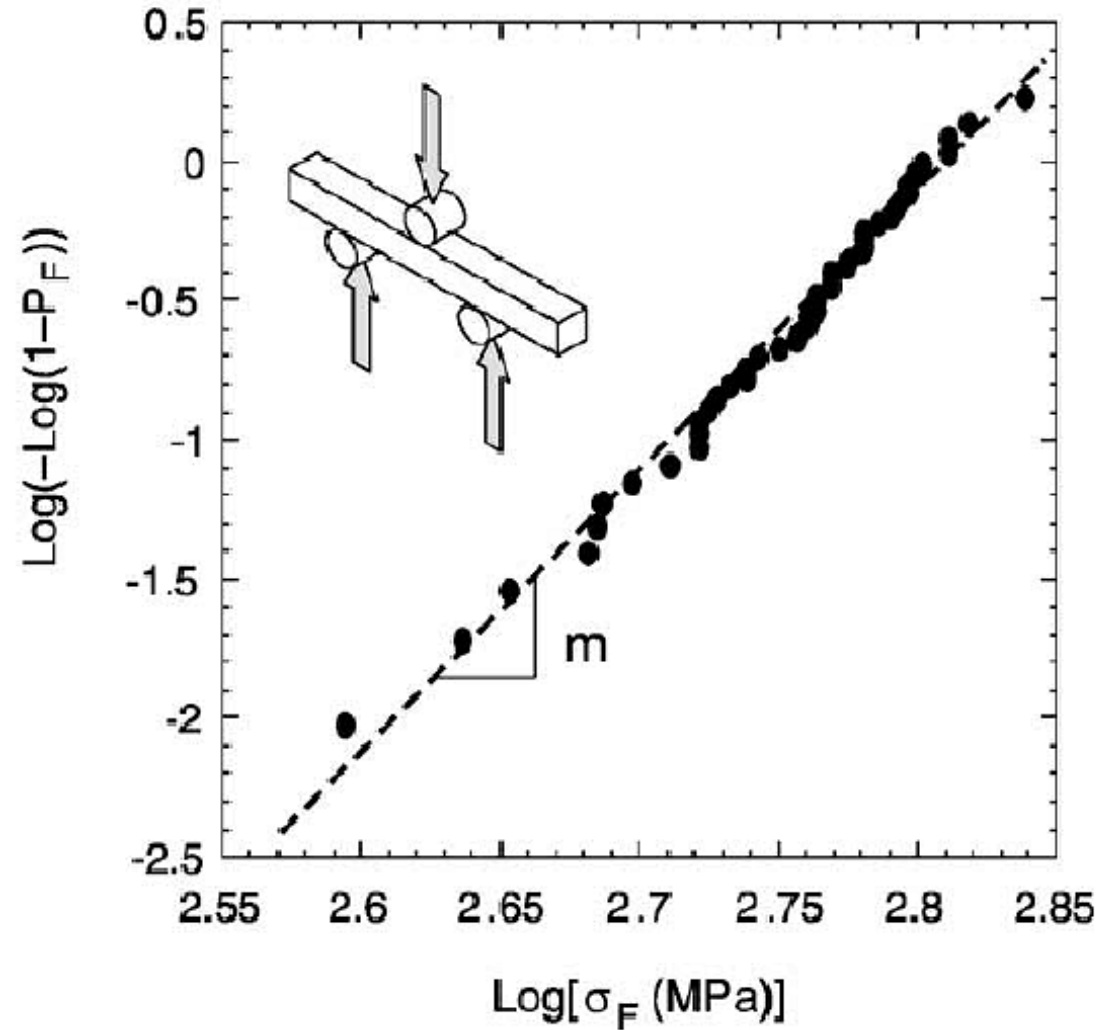


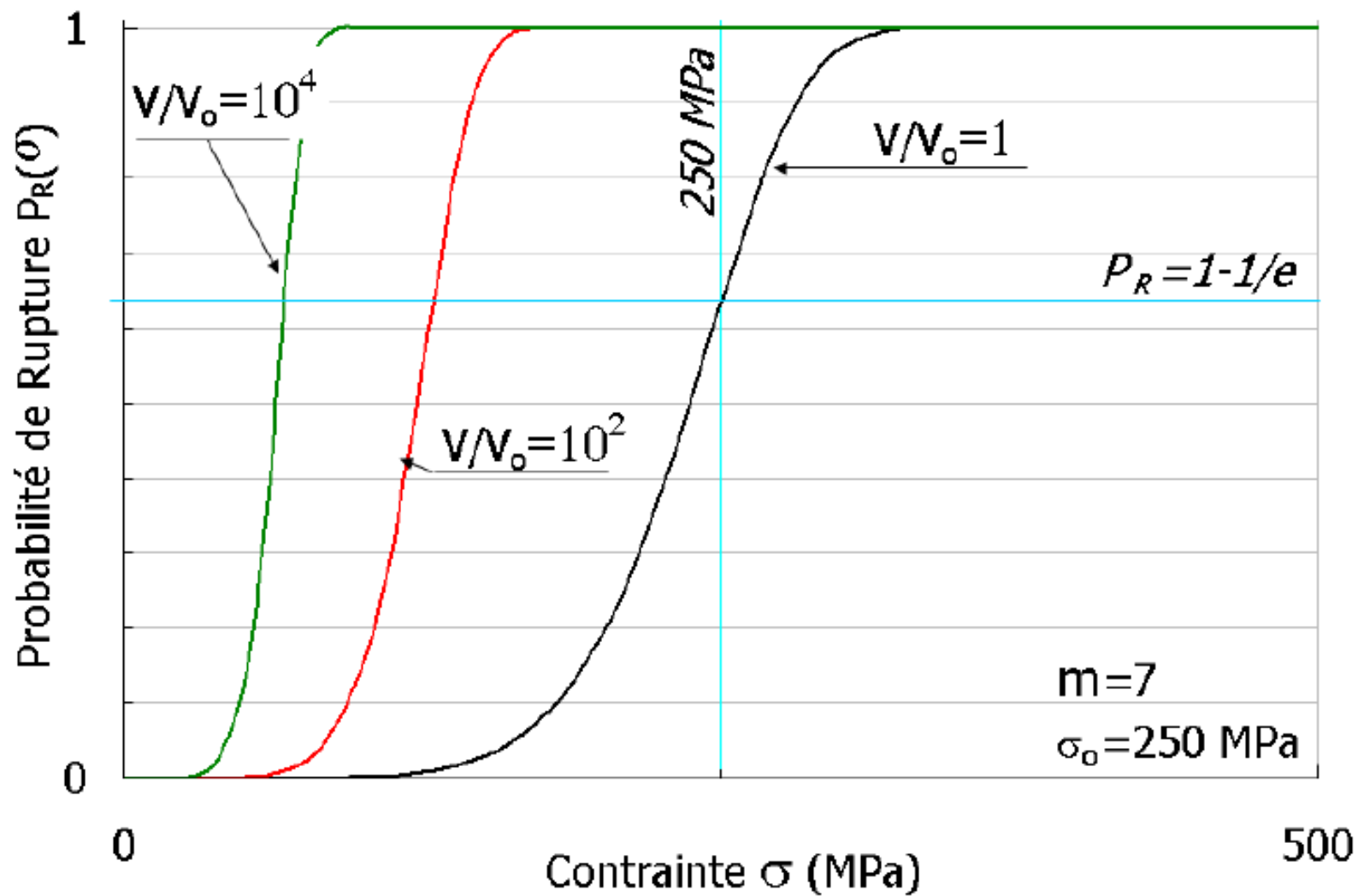


POLYTECH
ORLÉANS

École d'Ingénieurs de l'Université d'Orléans

Identification des paramètres







POLYTECH[®]
ORLÉANS

École d'Ingénieurs de l'Université d'Orléans

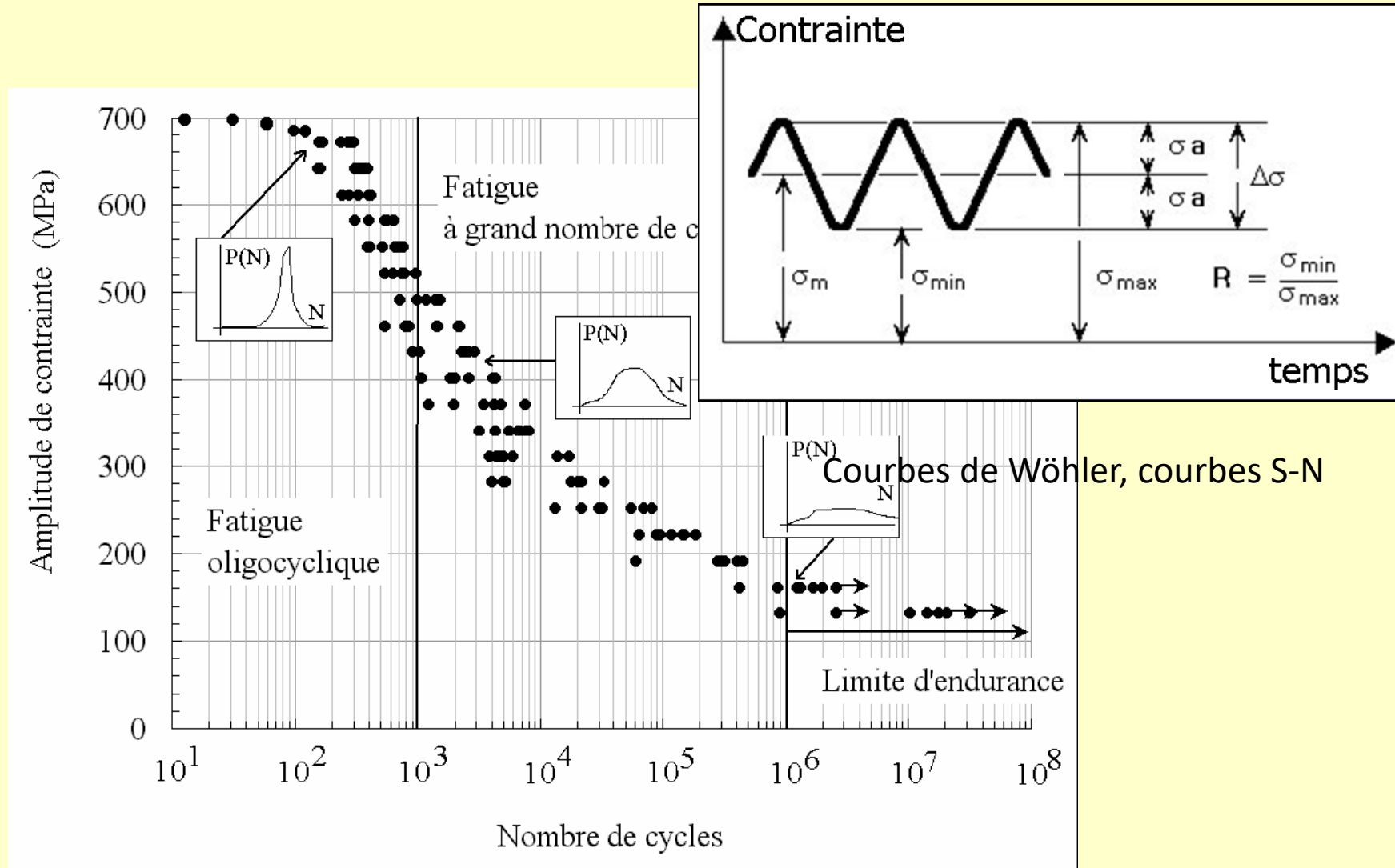
Éléments de la mécanique de rupture

- **Introduction**
- **Défauts dans un matériau : Facteur de concentration de contrainte**
- **Modes de propagation de fissures**
- **Contraintes et déplacements autour d'une fissure**
- **Critères de propagation de fissures**
- **Endommagement**
- **Fracture fragile et ductile**
- **Fatigue**
- Dimensionnement à la fatigue



Théorie de FATIGUE

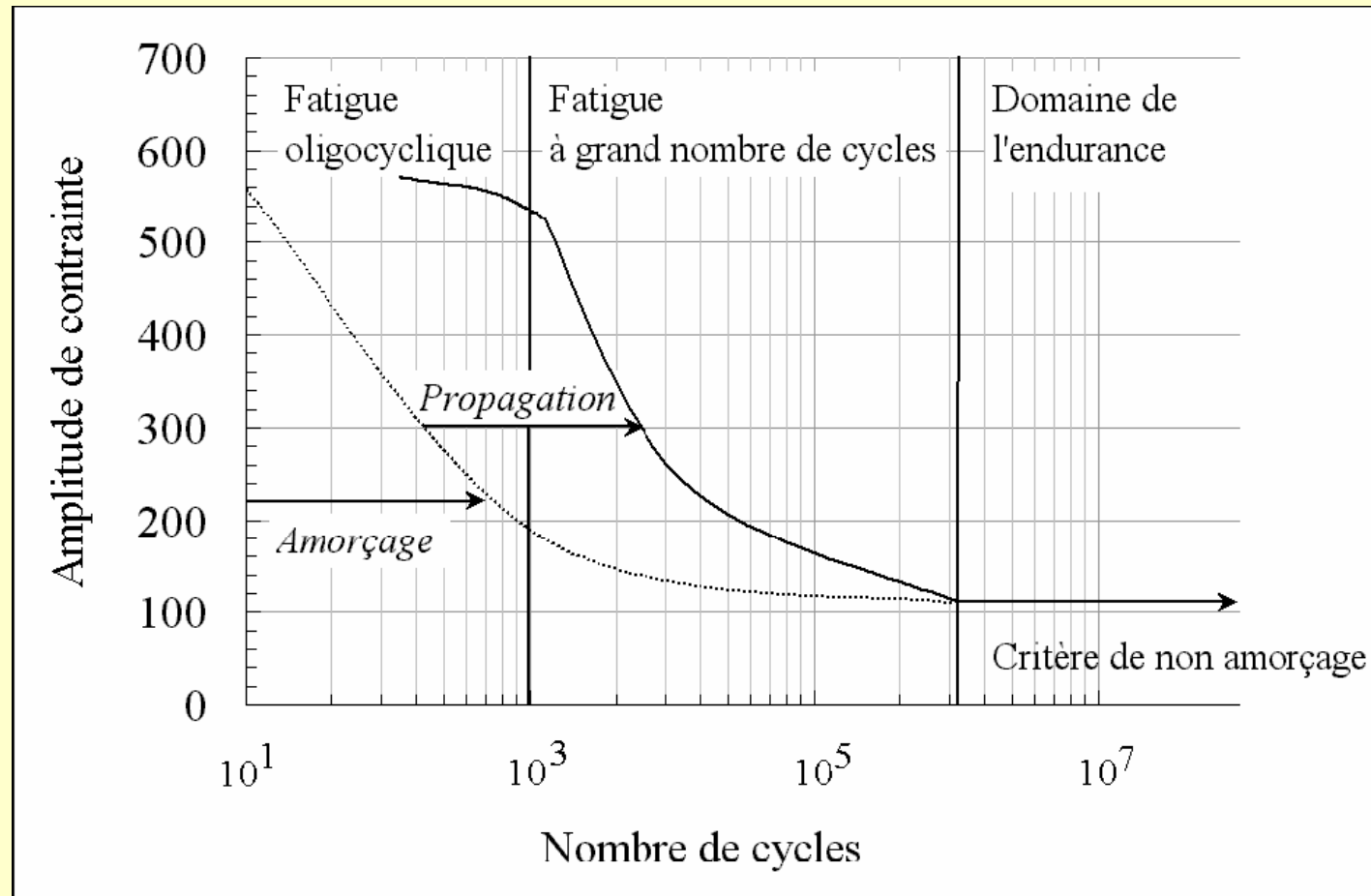
Rupture différée sous chargement cyclique





Théorie de FATIGUE

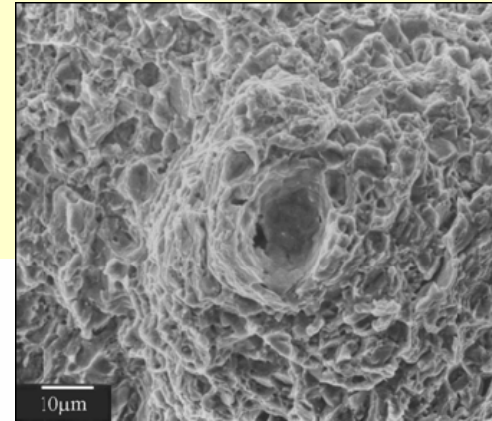
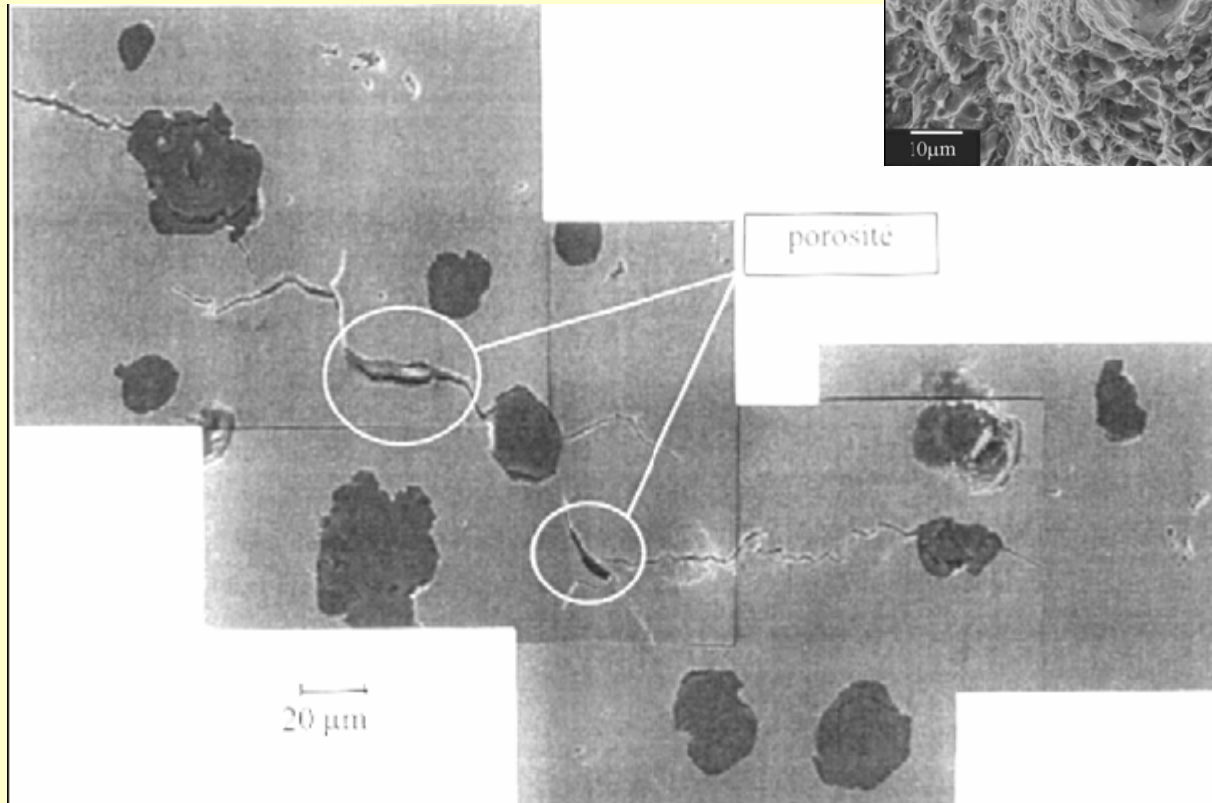
Rupture différée sous chargement cyclique





Théorie de FATIGUE

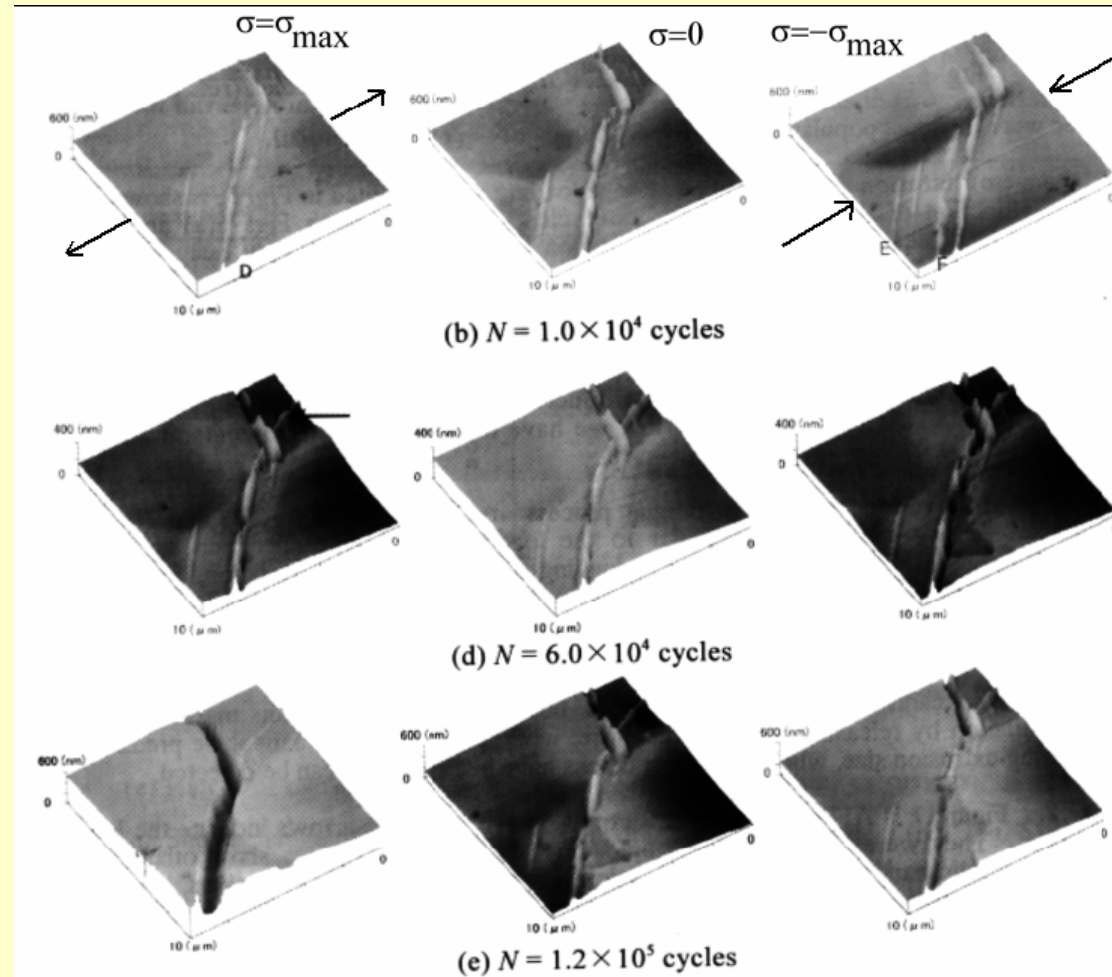
Observations : Amorçage des défauts





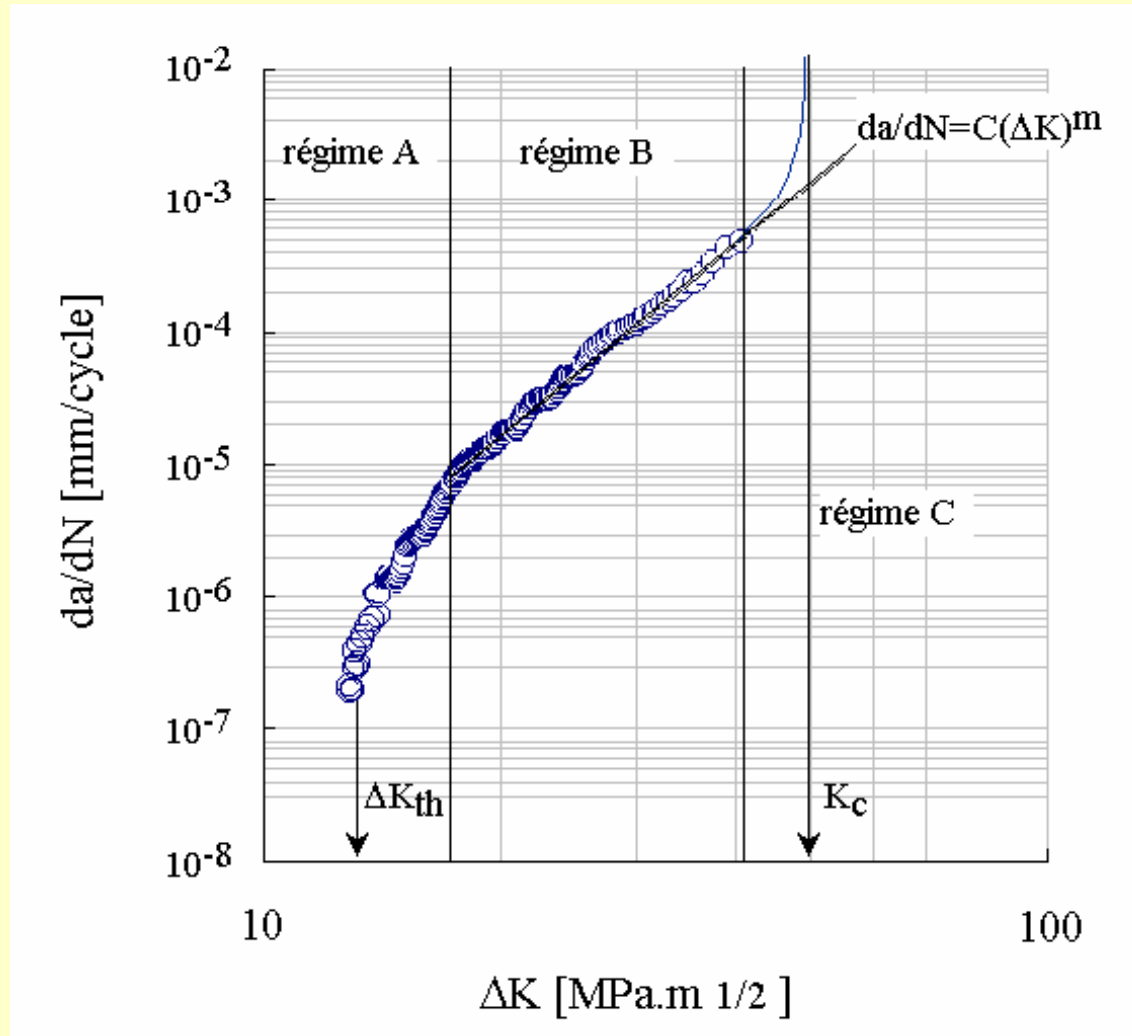
Théorie de FATIGUE

Propagation :





Fatigue : Critère de Paris





Fatigue : Critère de Paris

Utilisation :

$$K = K_c \Rightarrow S_y \sqrt{\pi a_c}$$



$$K_c \Rightarrow a_c = \frac{1}{\pi} \left(\frac{K_c}{S_y} \right)^2$$

Calcul de la dimension du défaut critique



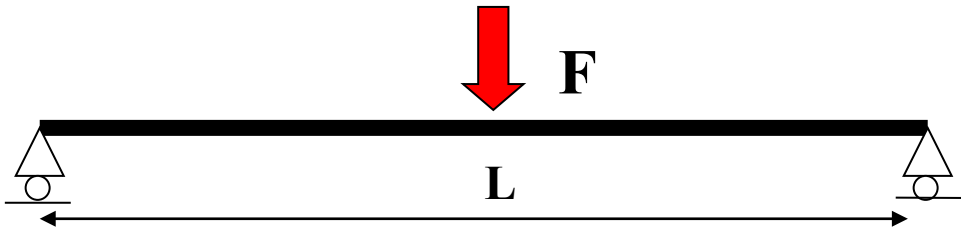
$$\underbrace{\frac{da}{dN} = C \cdot \Delta K^m}_{\text{Loi de Paris}} \Rightarrow N = \int_{a=a_0}^{a=a_c} \frac{da}{C \cdot (\Delta S_y \sqrt{\pi a})^m}$$

Calcul de la durée de vie par intégration de la loi de Paris entre a_0 et a_c



POLYTECH[®]
ORLÉANS

École d'Ingénieurs de l'Université d'Orléans



Exercice:

Une poutre est chargée comme dans la figure. L'inspection à l'œil et par un contrôle non destructif par ultrasons ont donné des résultats négatifs : aucune fissuration n'a pu être détectée.

a) Sachant que la taille minimale d'une fissure qui peut être détectée par cette technique est de 2 mm calculer la charge critique de la poutre par rapport à une propagation instable d'une fissure cachée.

Données $b=20\text{cm}$, $h=50\text{cm}$, $E=120\,000\text{ MPa}$, $K_{IC}=96\text{MPa}\cdot\text{m}^{1/2}$
 $L=24\text{ m}$

b) On considère que la poutre de l'exercice précédent fait partie d'un pont et on considère dans un premier temps uniquement le poids des camions (en négligeant le poids des tabliers). En plus, on assimile la charge d'un camion par une force ponctuelle cyclique (calcul simplifié). On demande de déterminer le poids maximal autorisé des camions qui peuvent traverser le pont, sachant que le nombre attendu des camions est de 850/jours et que le pont sera en exploitation pendant 75 ans. On précise que les paramètres de la loi de Paris sont respectivement $C=2.4\cdot 10^{-10}\text{ m/cycles}$ et $m=2.5$.

c) Inversement, si le poids des camions est donné quel est la taille des fissures que la structure peut tolérer sans risque de rupture soudaine



POLYTECH[®]
ORLÉANS

École d'Ingénieurs de l'Université d'Orléans

Corrigé :



Influence of environment on fatigue crack growth rate and threshold

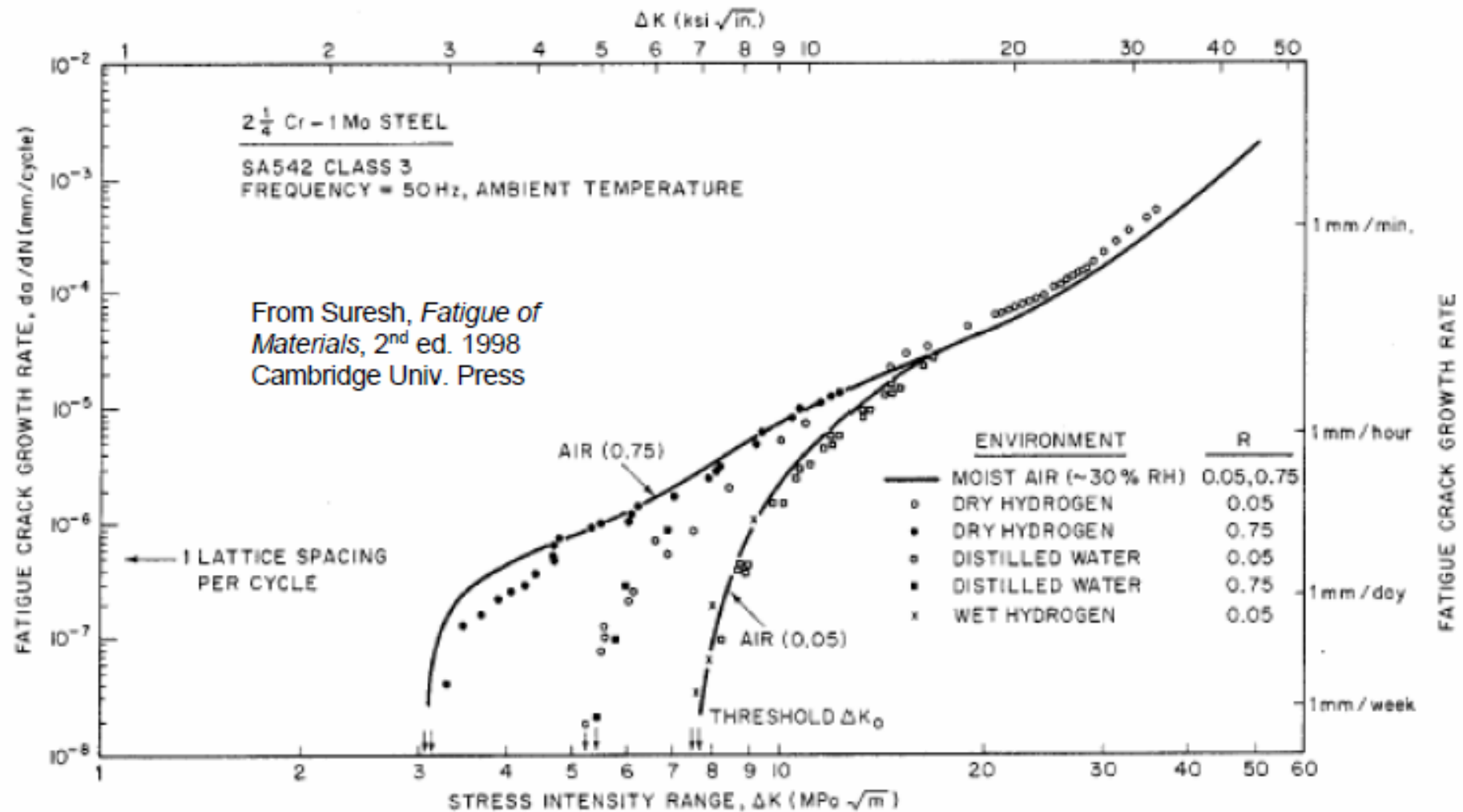
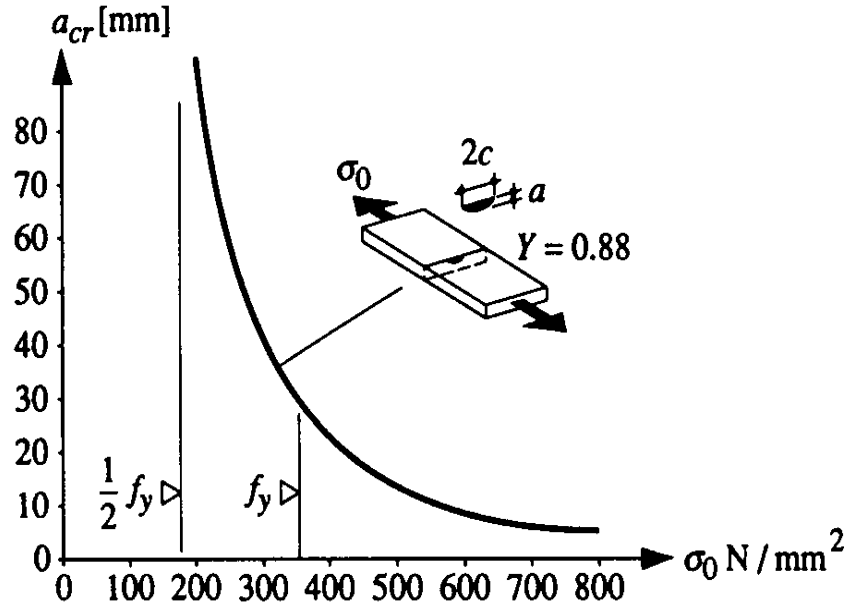
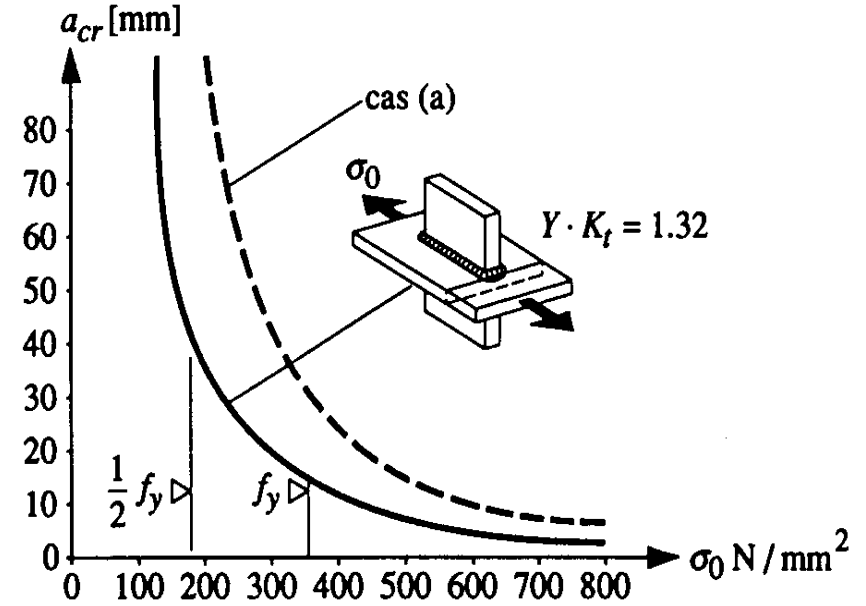


Figure 13.3 Influence of environment on near-threshold fatigue-crack growth in SA542-3 tested at $R = 0.05$ and 0.75 . Room temperature moist-air data are compared with data for wet and dry gaseous hydrogen and distilled water environments.



(a) Plaque fissurée.

si $\sigma_0 = f_y/2 \rightarrow a_{cr} > 80 \text{ mm}$
 \rightarrow plastification de la section
nette avant rupture fragile.



(b) Influence de la concentration de contrainte.

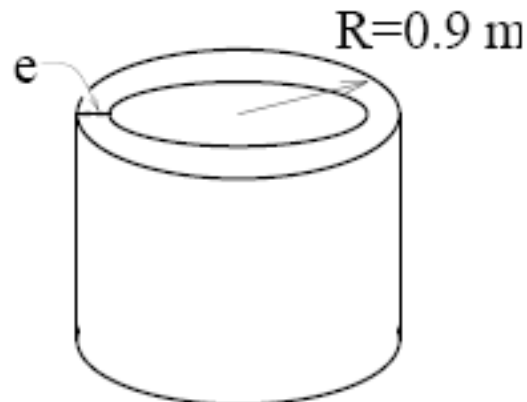
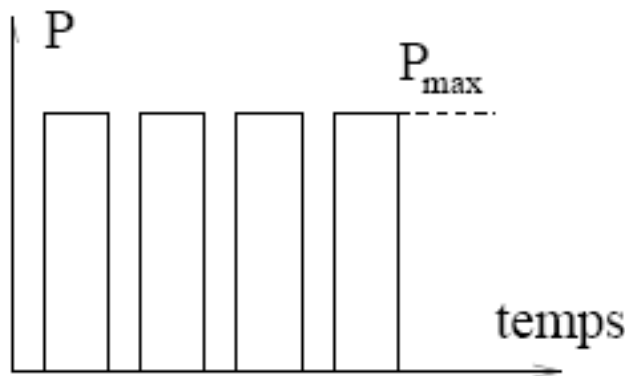
pièce soudée
 \rightarrow contraintes résiduelles
 $\rightarrow s_0 = f_y \rightarrow a_{cr} = 15 \text{ mm}$



Exercice:

Au sein d'un central électrique une vingtaine de cylindres sont soumis à des cycles de pression interne. La pression maximum en service P_{max} est de 50 bars. Notons que le contrôle de fissuration à résolution de 2.5mm ne relève aucun défaut. On cherche à dimensionner les cylindres, c'est-à-dire à déterminer l'épaisseur optimale du tube qui n'entraîne aucun risque de rupture possible pour une pression test de deux fois la pression de service. Pour cela on analysera les différents risques de rupture suivants :

1. rupture par charge limite
2. rupture par fissuration critique
3. propagation de fissure par fatigue.



Données matériau

$$\sigma_y = 1000 \text{ MPa}, K_{IC} = 170 \text{ MPa.m}^{1/2}$$

$$\text{Loi de Paris : } C = 2.6 \cdot 10^{-13}; m = 4.$$



- Structures soumises à des charges de fatigue :
 - Ponts-routes et ponts-rails:
 - Le comportement dynamique dépend de nombreux facteurs: fréquences propres, amortissement, caractéristiques du trafic (géométrie, répartition des charges, amortissement des véhicules, vitesse de passage).
 - On utilise un coefficient dynamique pour le calcul en fatigue et les normes définissent les modèles de charges représentant les charges d'exploitation. Le nombre de cycles à prendre en considération dépend de l'importance du trafic.
 - Ponts roulants et voies de roulement :
 - Actions de fatigue: levage des charges, accélération, freinage, mise en biais,...
 - Le nombre de cycles de levage à prendre en compte dépend de la fréquence d'utilisation → Voir NBN E52-002 ou EC1- 5.



– Plates-formes pétrolières :

- Actions de fatigue : mouvements dus aux vagues;
- N.B.: la résistance à la fatigue diminue avec la présence de l'eau salée.

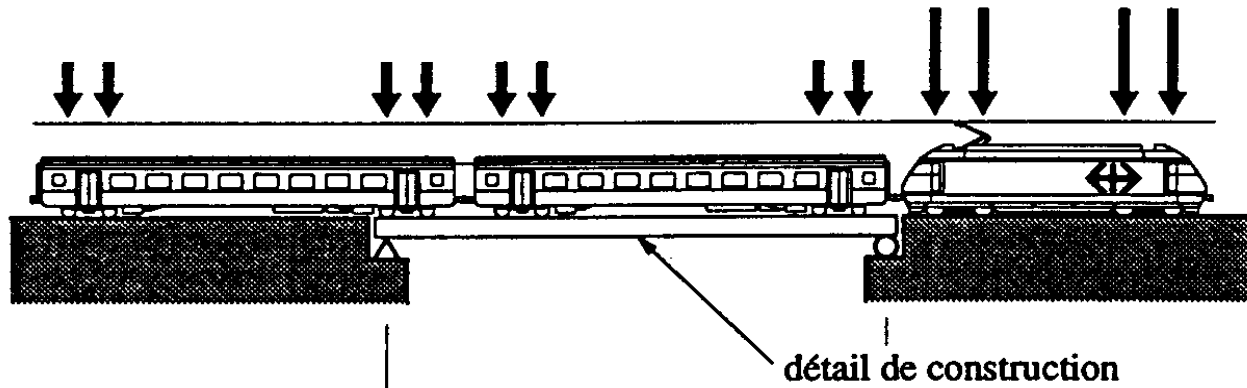
– Tours, haubans, mâts et cheminées :

→ **Vent** → **mouvements (phénomène de Von Karman)**

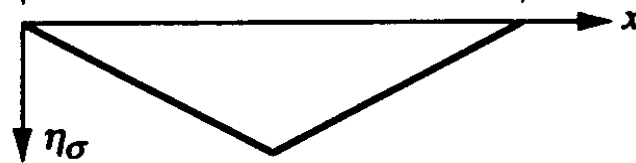
→ $\Delta\sigma$ → fatigue.

→ Les sollicitations réelles ne sont pas des variations sinusoïdales des contraintes.

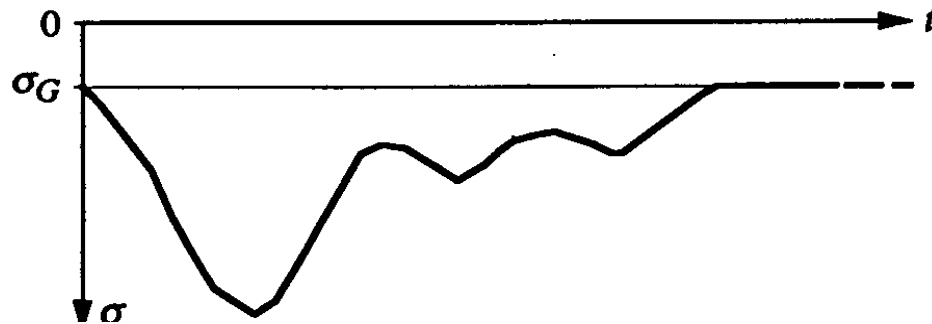
Modèle de charge et système statique



Ligne d'influence (contrainte dans le détail considéré)



Historique des contraintes



Sollicitations de fatigue.

Schéma de calcul de structures en fatigue selon Eurocodes

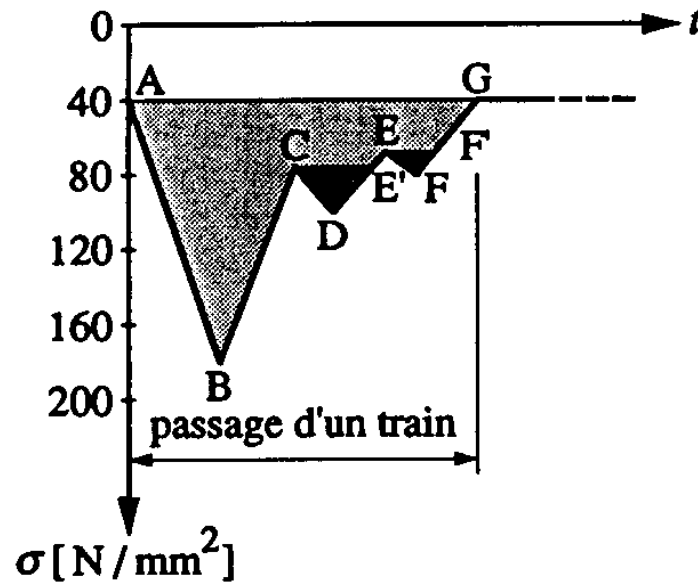
Questions de rappel :

- 1- Qu'est ce que c'est une ligne d'influence ?
- 2 – Comment on construit une ligne d'influence ?



Comment faire le lien entre les actions réelles et celles considérées par la théorie

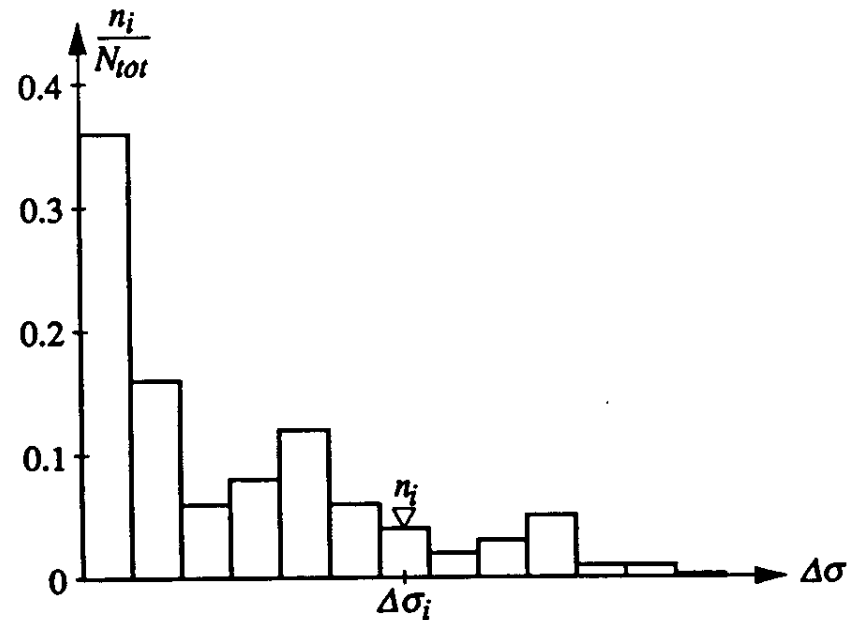
- méthode du réservoir.
- méthode de la goutte d'eau.



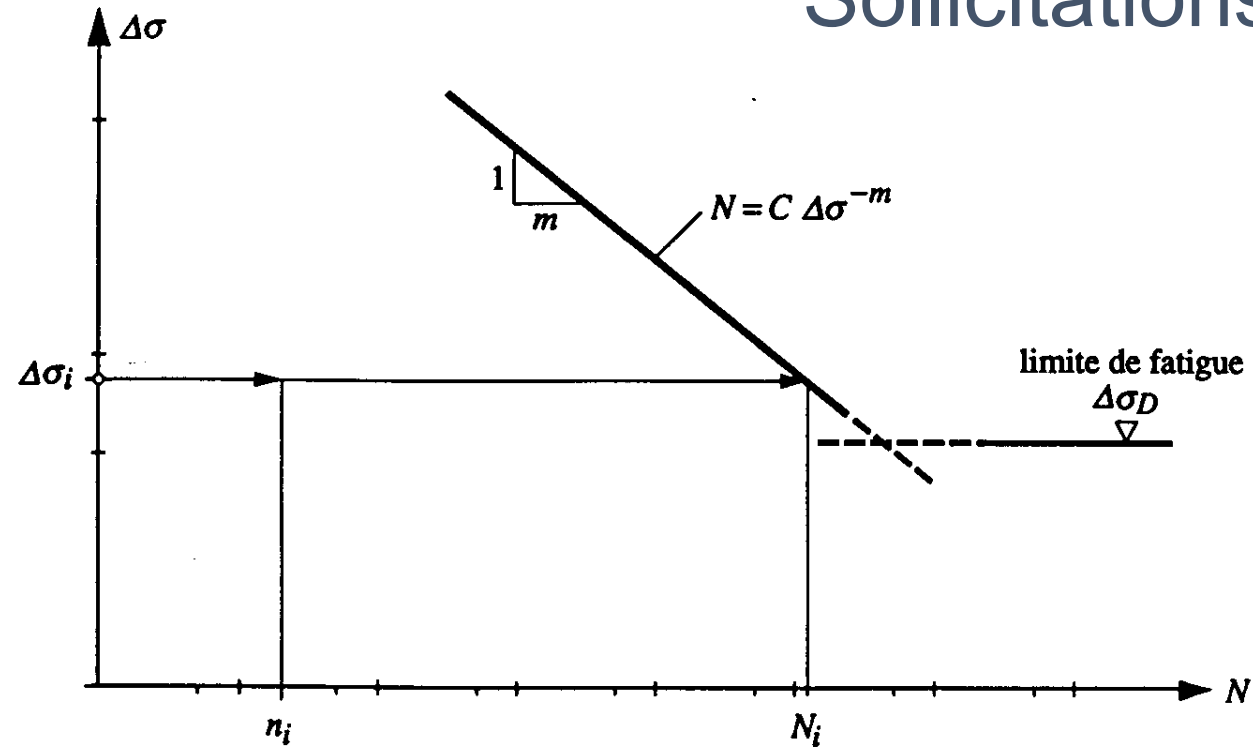
niveau-pointe	$\Delta\sigma$ [N/mm ²]
$\overline{AG-B}$	140
$\overline{CE'-D}$	24
$\overline{EF'-F}$	12



Pour chaque passage de train et en fonction du nombre de passages pendant la durée de vie estimée de l'ouvrage, on définit le diagramme suivant:



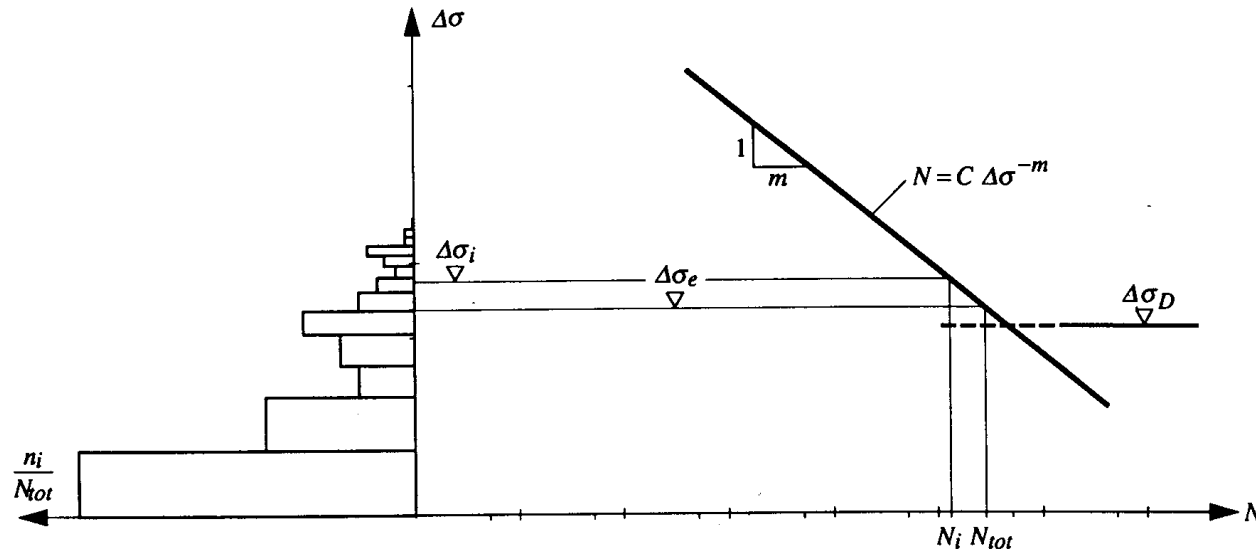
$N_{tot.}$ est fonction du détail étudié. (Une entretoise subit plus de cycles qu'une poutre maîtresse.)



- Cumul des dommages individuels :
 - Chaque cycle $\Delta\sigma_i$ crée un dommage individuel d_i .
 - n_i cycles $\Delta\sigma_i$ crée un dommage $n_i \cdot d_i$.
où le dommage dû à un cycle : $d_i = 1/N_i$
 - Dommage dû à n_i cycles : $n_i \cdot d_i = n_i/N_i$
- Avec N_i : nombre de cycles jusqu'à la ruine pour un niveau $\Delta\sigma_i$.



Sans limite de fatigue



$$\rightarrow D_{\text{tot}} = N_{\text{tot.}} / (C \cdot \Delta\sigma_e^{-m}) \text{ avec } N_{\text{tot}} = \sum n_i$$

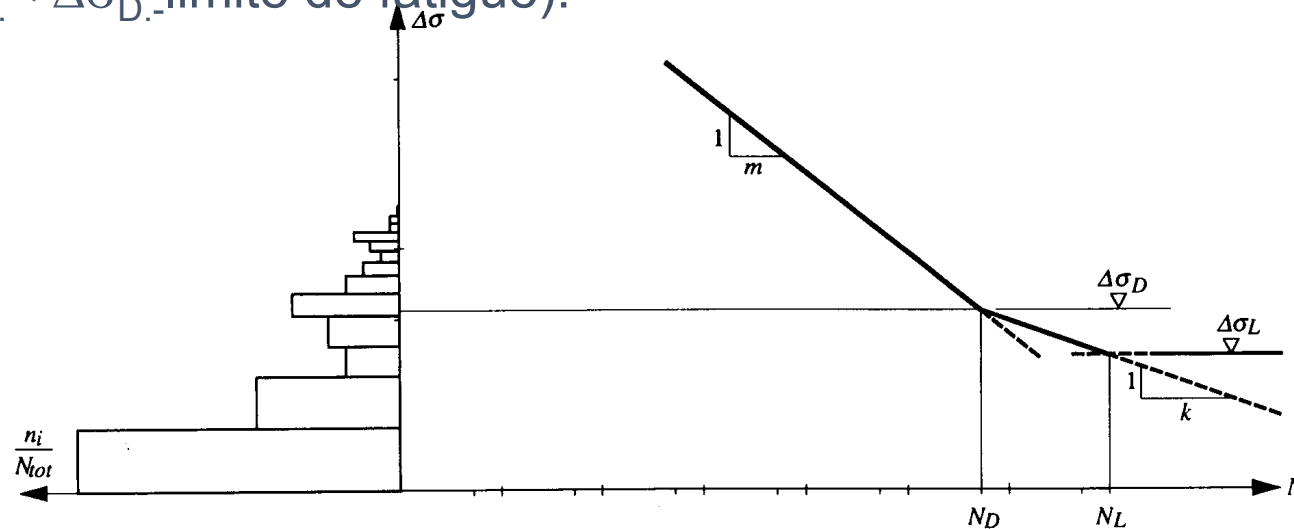
$$\rightarrow D_{\text{tot}} = \sum \{ n_i / (C \cdot \Delta\sigma_i^{-m}) \} = N_{\text{tot}} / (C \cdot \Delta\sigma_e^{-m})$$

$$\rightarrow \Delta\sigma_e = \left\{ (1/N_{\text{tot}}) \cdot \sum \Delta\sigma_i^m \cdot n_i \right\}^{1/m}$$



Avec limite de fatigue

(Influence des $\Delta\sigma_i < \Delta\sigma_D$ limite de fatigue):



- Si $\Delta\sigma_i < \Delta\sigma_D$ → durée de vie infinie. (mais pour des essais à amplitude constante)
 - ☺ si toutes $\Delta\sigma_i < \Delta\sigma_D$ alors la durée de vie $> 10^8$ cycles (\sim infini)
- Si une partie $\Delta\sigma_i < \Delta\sigma_D$ et une autre partie $> \Delta\sigma_D$ alors calcul pondéré

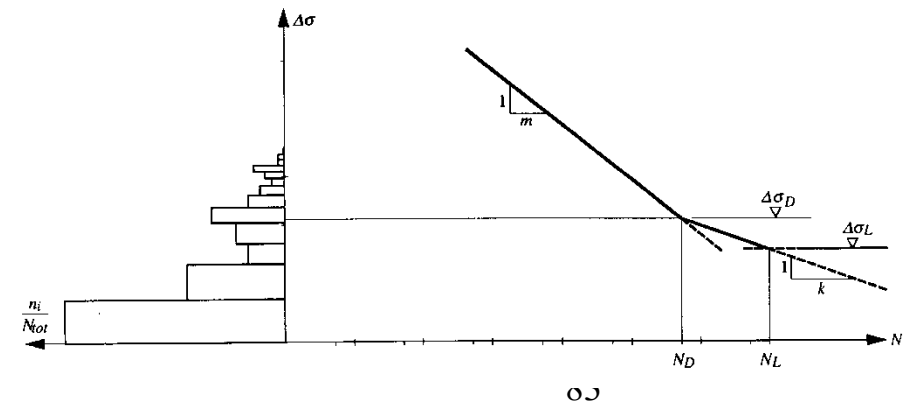


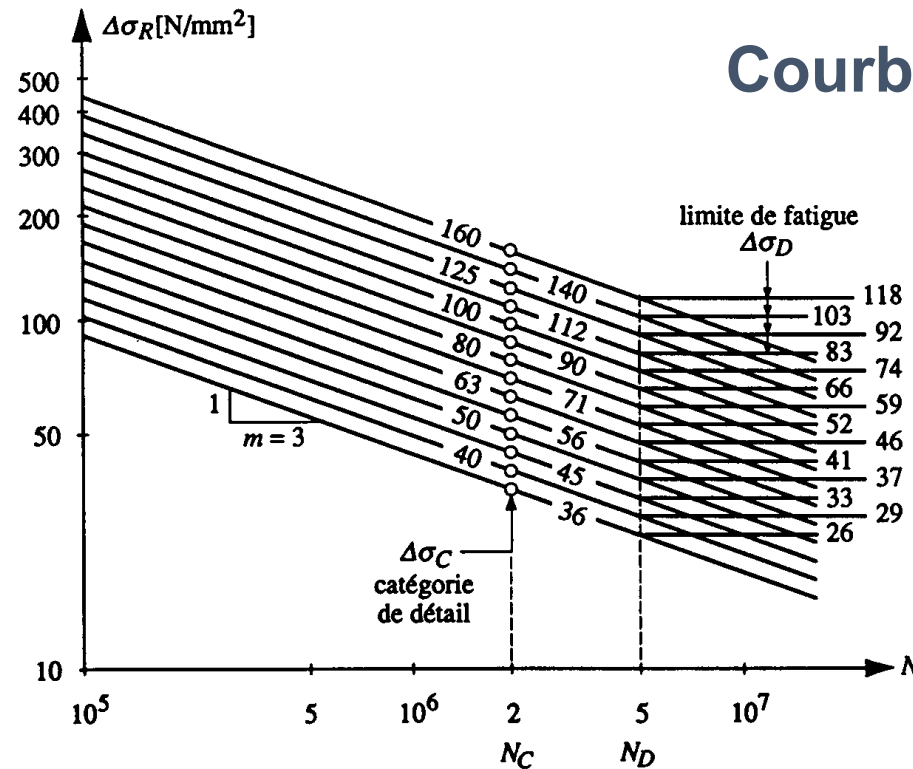
Influence des $\Delta\sigma_i < \Delta\sigma_D$ (limite de fatigue):

- Si « a » atteint a_{cr} → $\Delta\sigma_i < \Delta\sigma_D$ va contribuer à la propagation de la fissure → il faut donc en tenir compte.
- On définit une droite avec une pente réduite $k=m+2$
- On définit une limite de troncature :

$$\Delta\sigma_L \simeq 0,55 \cdot \Delta\sigma_D \text{ et } N_L = 10^8$$

Pour $N_D = 5 \cdot 10^6$ et $k=5$





Courbes de résistance à la fatigue normalisées EC1

Chaque détail de construction correspond à une courbe de résistance

$\Delta\sigma_c$ = valeur de référence (N/mm^2) à $2 \cdot 10^6$ cycles → **Catégorie du détail**

$\Delta\sigma_D$ = limite de fatigue à $5 \cdot 10^6$ cycles.



Vérification de la sécurité à la fatigue.

1. Principe : $S_{fat} \leq R_{fat} / \gamma_{fat}$
 S_{fat} = sollicitation de fatigue.(ELS)

2. Vérification avec limite de fatigue :

→ $\Delta\sigma_{i,max} \leq \Delta\sigma_D / \gamma_{fat}$
avec $\Delta\sigma_{i,max}$: différence de contrainte max. de l'histogramme de $\Delta\sigma_i$ due aux charges d'exploitation.

Suivant EC3

$\gamma_{fat} = \gamma_{Mf} = 1$ ou 1,15 pour les éléments dont la ruine n'a pas de conséquence pour la structure;

$\gamma_{fat} = \gamma_{Mf} = 1,25$ ou 1,35 pour les éléments conduisant rapidement à la rupture de la structure.



→ On définit $\Delta\sigma_e$ et $\Delta\sigma_e \leq \Delta\sigma_R(N_{tot}) / \gamma_{fat}$.

→ Si on veut se référer à $\Delta\sigma_C$, nous avons:

$$N = C \cdot \Delta\sigma^{-m} \rightarrow N_{tot} = C \cdot [\Delta\sigma_R(N_{tot})]^{-m}$$
$$\text{et } 2 \cdot 10^6 = C \cdot \Delta\sigma_C^{-m}$$

→ $\Delta\sigma_R(N_{tot}) = \Delta\sigma_C \cdot (2 \cdot 10^6 / N_{tot})^{1/m}$

De $\Delta\sigma_e \leq \Delta\sigma_R(N_{tot}) / \gamma_{fat}$ $\Delta\sigma_e \leq \Delta\sigma_C \cdot (2 \cdot 10^6 / N_{tot})^{1/m} \cdot 1 / \gamma_{fat}$.

$(N_{tot} / 2 \cdot 10^6)^{1/m} \cdot \Delta\sigma_e \leq \Delta\sigma_C / \gamma_{fat}$.

→ EC3 : $\Delta\sigma_{E.2} \leq \Delta\sigma_C / \gamma_{fat}$.

Avec $\Delta\sigma_{E.2} = (N_{tot} / 2 \cdot 10^6)^{1/m} \cdot \Delta\sigma_e$

(étendue équivalente de contrainte pour $2 \cdot 10^6$ cycles)